

МИНИСТЕРСТВО ГЕОЛОГИИ СССР

ГЕОЛОГИЧЕСКАЯ  
КАРТА СССР

масштаба 1:200 000

*Серия Енисейская*

Лист О-46-XXXVI

НЕДРА

## ВВЕДЕНИЕ

Территория листа О-46-XXXVI размещается в юго-восточной части Красноярского края РСФСР в пределах Канского, Дзержинского, частично Абанского, Иланского и Рыбинского административных районов. Лист ограничивается координатами  $56^{\circ}00' - 56^{\circ}40'$  с. ш.,  $95^{\circ}00' - 96^{\circ}00'$  в. д. и входит в Енисейскую серию геологической карты СССР масштаба 1 : 200 000.

В орографическом отношении большая часть площади листа попадает в пределы Средне-Сибирского плоскогорья, представляющего собой слабо расчлененную лесостепную равнину с абсолютными отметками 280—380 м.

Вдоль западной границы описываемой территории узкой полосой протягивается затаенный низкогорный массив, соответствующий юго-восточному склону Енисейского кряжа. Обнаженность площади листа плохая.

Гидрографическая сеть принадлежит к бассейнам среднего течения р. Кан и верхнего течения р. Усолки.

Климат района резко континентальный. Среднегодовая температура воздуха равна  $3,4^{\circ}\text{C}$ . Средняя многолетняя температура самого теплого месяца составляет  $+19,8^{\circ}\text{C}$ , самого холодного месяца (январь)  $-20,1^{\circ}\text{C}$ . Среднегодовое многолетнее количество осадков 331,7 мм, большая часть их выпадает в виде дождя в летнее и осенне время.

Ветры западного направления преобладают и имеют наибольшую скорость (до 7,6 м/сек).

В экономическом отношении район является развитым, густо населенным. Основная масса населения занята в сельском, частично лесном и лесохимическом хозяйствах. В южной части площади листа проходит главная Сибирская железнодорожная магистраль, на которой расположен г. Канск. На площади листа развита густая сеть грунтовых дорог. В южной его части проходит Московский тракт; районные центры связаны с г. Канском улучшенными дорогами.

Первые геологические исследования на площади листа проводились с конца XIX столетия, в связи с изысканием трассы Сибирской железной дороги. Наиболее ценными работами этого периода являются маршрутные исследования Э. Г. Гофмана (1884 г.), А. В. Златковского (1883—1884 гг.) и др.

В результате геологических исследований М. К. Коровина в 1929—1930 гг. была принята стратиграфическая схема палеозойских и юрских отложений, промышленная оценка угленосности выделенного им Канского буроугольного бассейна. В 1930—1940 гг. геологической съемкой масштаба 1 : 1 000 000 в западной части листа занимались А. С. Хоментовский (1935ф) и Ю. А. Кузнецова (1937ф). В результате их исследований были разработаны вопросы стратиграфии докембрийских и кембрийских образований, а также — тектонического строения.

В 1938 г. на территории Канско-Тасеевского района начались поиски нефти, сопровождавшиеся глубоким структурно-картировочным бурением. Работавшими в этом направлении И. Н. Стрижевым и А. А. Предтеченским (1938—1940 гг.), Л. А. Котиковым (1951ф) и М. А. Жарковым (1957ф) значительно продвинуто вперед изучение кембрийских и докембрийских образований.

В 1947—1950 гг. И. А. Санжарой и А. В. Ивановой, проводившими геологическую съемку масштаба 1 : 500 000, впервые дано расчленение юрских отложений Канско-Тасеевской впадины на горизонты. В 1948 г. А. В. Лесгафт, проводивший маршрутную съемку масштаба 1 : 1 000 000 в среднем течении р. Кан, разработал вопросы стратиграфии девонских отложений.

В послевоенные годы съемками масштаба 1 : 100 000 в различных частях площади листа занимались И. Н. Сулимов (1952ф), Б. А. Фукс (1954ф), А. Д. Бритченко и И. Н. Миронов (1953ф).

С 1952 по 1957 гг. на площади листа проводились комплексные геофизические работы (сейсмо-, грави-, электро- и магниторазведка), важнейшие результаты которых освещены в работе А. П. Булмасова (1957ф), Л. М. Щупак (1956ф) и др.

Следует отметить ряд работ специального назначения: геоморфологическое картирование долины р. Кан (Дедова, 1958), поиски бокситов (Горецкий и Калмыков, 1957 г.) и каменной соли (Свидерский, 1959 г.). Для общего понимания геологического строения Рыбинской впадины и Канского угольного бассейна имеют значения сводные и тематические работы А. В. Аксарина, В. С. Мелещенко, М. И. Грайзера. Особенno следует отметить работу Э. Н. Янова по составлению карты масштаба 1 : 500 000 Рыбинской впадины.

Геологическая карта, карта полезных ископаемых и объяснительная записка составлены В. Н. Москалевым, Л. П. Ляшенко и В. В. Дедовой по материалам работ масштаба 1 : 200 000, проведенных в 1958—1959 гг. На период составления геологической карты контактная печать листа О-46-XXXVI отсутствовала. Данные шлихового, металлометрического опробования при составлении карты не учтены ввиду отрицательных результатов.

Глава «Подземные воды» написана гидрогеологом В. С. Саваниным. Анализ геофизических материалов выполнен А. И. Нестеренко.

## СТРАТИГРАФИЯ

В геологическом строении территории листа принимают участие архейские и синийские метаморфические образования, осадочные отложения синия и нижнего кембрия, палеозоя, мезозоя и кайнозоя. Интрузивные породы имеют незначительное развитие.

### АРХЕЙ

#### Канская серия нерасчлененная — *Akk*

Породы, отнесенные к канской серии, в пределах описываемой территории имеют весьма ограниченное распространение. На дневную поверхность они выходят в районе «Галочных грив» (в 4 км южнее д. Хаерино), а также вскрыты в долине р. Кан скважинами 6, 11, 16 (Котикова, 1951ф), где они с глубоким разрывом перекрываются отложениями синия и палеозоя. К породам этой серии относятся биотитовые гнейсы. Окраска их розовато-серая, желтовато-серая, розовато-красная; сложение мелко- и крупнокристаллическое, текстура гнейсовидная, параллельная. Структура лепидогранобластовая, либо гетеробластовая. Породы состоят из полевого шпата (60%), кварца (29—30%), биотита (8—10%), единичных зерен граната, циркона, апатита.

Калиевый полевой шпат представлен решетчатым микроклин-микропертитом. Его зерна имеют крупные размеры, слегка пелитизированы и деформированы, нередко прорастаются кварцем.

Плагиоклаз образует неправильные изометрические зерна, подвергнуты соссюритизации с развитием серпинита и минералов группы эпидота.

Кварц чаще образует мелкие зерна с волнистым угасанием.

Биотит встречается довольно редко и образует удлиненные зерна призматической формы. Листочки биотита располагаются вдоль стыков зерен полевых шпатов и кварца в виде цепочек и параллельно друг другу.

Апатит, циркон, гранат встречаются в зернах микроклина, плагиоклаза и кварца в форме мелких призм, поперечных гексагональных и кубических срезов.

Гнейсы канской серии прорываются таракскими гранитами, а также дайками диабазов, габбро-диабазов и жилами пегматитов.

Возраст пород канской серии определяется как архейский на том основании, что в пределах листа О-46-XXXV они рвутся таракскими гранитами, абсолютный возраст которых определен в пределах 2000—2200 млн. лет.

### СИННИЙ

Синийские отложения в пределах площади листа пользуются незначительным распространением. В отличие от Ангарского района Енисейского кряжа, где наблюдаются наиболее полные разрезы синийского комплекса, в нашем районе синий представлен лишь одной потоской свитой, которая входит в состав тунгусикской серии осадков.

### Тунгусикская серия

Потоская свита (?) — *Snp?*. Отложения потоской свиты имеют весьма ограниченное распространение: единичный небольшой выход их известен по р. Курыш, в 4 км ниже д. Хаерино; в долине р. Кан (на участке г. Канск — д. Хаерино) они вскрыты скважинами 1, 4, 6, 10, 13 (Котикова, 1951ф) под отложениями кунгусской свиты. Породы свиты залегают на размытой поверхности образований канской серии архея, по-видимому, с угловым несогласием и перекрываются трансгрессивно залегающими отложениями алешинской и кунгусской свит. Литологически свита представлена глинистыми, кремнисто-глинистыми сланцами, тонко переслаивающимися с алевролитами и песчаниками, кварцитовидными песчаниками.

Нижняя часть разреза свиты сложена кварцевыми песчаниками зелено-вато-серых и красных тонов, которые выше по разрезу сменяются толщей вишнево-коричневых, кирпично-красных, зелено-вато-серых и фиолетовых кремнисто-глинистых сланцев, ритмично переслаивающихся с зелено-вато-серыми алевролитами. Сланцевая толща составляет основную часть разреза свиты. В верхах ее вновь появляются песчаники, кварцитовидные песчаники и кварциты серых, темно-серых и розовато-серых тонов, разнозернистые, слюдистые, местами неравномерно ожелезненные.

По имеющимся данным судить о полной мощности свиты не представляется возможным. Изученная часть ее составляет 230—250 м. Выделение описанных отложений в свиту произведено весьма условно на основании литологического сходства с одноименной свитой заангарской части Енисейского кряжа. По мнению А. А. Предтеченского, эти отложения могут быть отнесены к метаморфической фации тасеевской серии.

### СИННИЙ — НИЖНИЙ КЕМБРИЙ

#### Тасеевская серия

Отложения, отнесенные к тасеевской серии в пределах листа, имеют ограниченные выходы на дневную поверхность и наблюдаются вдоль западной границы в виде полосы северо-западного направления на широте Хаерино—Полтава. Залегают они трансгрессивно на отложениях потоской свиты, гнейсах канской серии, таракских гранитах и перекрываются нерасчлененными отложениями островной и климинской свиты нижнего кембрия.

По литологическому сопоставлению с аналогичными отложениями Приангарья (Благодатский, 1961ф) расчленение осадков синия — нижнего кембрия произведено на три свиты: алешинскую, чистяковскую, мошаковскую. Каждая из свит представляет собой макрорит.

Алеинская свита (*Snp—Ctpas*). Отложения свиты прослеживаются в виде узкой полосы северо-западного направления от д. Хаерино до

западной рамки листа. Залегают они трансгрессивно на отложениях потокской свиты, гнейсах канской серии и таракских гранитах. Алешинская свита перекрывает согласно залегающими отложениями чистяковской.

По составу свита делится на две пачки (снизу): кварцитовидных песчаников, алевролитовую.

Первая пачка хорошо выдержанна и может являться маркирующей. Сложена она кварцитовидными песчаниками светло-серыми с розовым оттенком, с массивной плотной текстурой и разнозернистой структурой. Местами ясно видна полосчатость, обусловленная переслаиванием мелко- и грубозернистых разностей. Кварцитовидные песчаники литифицированы и имеют толстоплитчатую отдельность. Породообразующими минералами являются кварц, калиевый полевой шпат и плагиоклаз, процентное содержание которых непостоянно. Кварц преобладает. В пачке кварцитовидных песчаников местами встречаются линзы конгломератов, сложенных галькой молочно-белого кварца и кварцита, сцепментированной аналогичными песчаниками. Галька хорошо окатана и имеет размеры от 2 до 10 см по длинной оси. Мощность пачки до 200 м.

Алевролитовая пачка представлена переслаиванием алевролитов с песчаниками. Эти отложения выходят на поверхность в районе «Галочных грив». Песчаники и алевролиты имеют неравномерную пятнистость и тонкополосчатую окраску: фиолетовые и темно-бордовые цвета чередуются с серыми и кремовыми. Структура пород крупно-мелкозернистая, текстура массивная; состоят из кварца, полевого шпата и глинистого цемента.

Кварцитовидные песчаники и алевролиты по составу и положению в разрезе аналогичны нижней части алешинской свиты (Благодатский, 1961ф), выделенной на площади листа О-46-ХХIII.

Следует отметить, что отложения свиты вскрыты также скв. 2 (Стрижев, 1940ф) в интервале 265,0—746 м. По его данным, они представлены слоистыми разнозернистыми песчаниками, содержащими частые прослои конгломератов из гальки кварцита и кварца, редкие пропластки кварцитов и хлорито-глинистых сланцев. Цвет пород темно-коричневый, красновато-бурый, темно-красный, фиолетово-красный, желто-бурый. Эти отложения именованы И. Н. Стрижевым «свитой косвеннослоистых песчаников и конгломератов».

Песчаниковая толща, вскрытая скв. 2, может параллелизоваться со средней частью алевролито-песчаниковой пачки алешинской свиты. Общая мощность свиты около 1000—1200 м. По данным Ю. И. Парфенова (1961ф), мощность алешинской свиты достигает 1200—1500 м (лист О-46-ХХV).

Возраст свиты в пределах описываемой площади не подтвержден и устанавливается на основании литолого-стратиграфического сопоставления с аналогичными отложениями, развитыми в Приангарской части.

Чистяковская свита (*Sn—Cm<sub>1</sub>c<sub>3</sub>*). Отложения свиты известны вдоль западной границы площади листа, от широты д. Любава и севернее. Залегают они согласно на отложениях алешинской свиты и постепенно переходят в осадки вышележащей мошаковской. Сложена она мелко- и среднезернистыми слюдистыми песчаниками буртово-зеленовато-серого, лилово-серого, реже кирпично-красного цвета с редкими прослоями сланцев бишнево-красного, зеленовато-серого цветов. Характерной особенностью пород свиты является наличие песчаников серых, лилово-серых и зеленоватых тонов. Мощность отложений свиты около 950—1000 м. По данным Ю. И. Парфенова (1961ф), мощность чистяковской свиты около 1200 м. Возраст ее устанавливается путем литолого-стратиграфического сопоставления с аналогичными отложениями по р. Тасеевой, в которых З. Х. Ильясовой, Л. А. Лысовой и Е. Л. Дробковой (1955—1956 гг.) определены кембрийские споры *Zophotriletes semiinvolutus* var. *subglobosus* Tīm, *Z. crassus* Tīm(?), *Hypertrachytriletes ischoricus* Tīm. Кроме того, данные отложения сопоставляются с чистяковской свитой, выделенной А. В. Благодатским в пределах площади листа О-46-ХХIII и являющейся аналогом нижней части ушаковской свиты Присаянья.

Мошаковская свита (*Sn—Cm<sub>1</sub>t<sub>3</sub>*). На дневную поверхность отложения свиты выходят полосой у западной рамки листа на участке между деревнями Букар и Полтава и в 14 км к северо-западу от г. Канска. Залегают они на чистяковской свите и отделяются от нее условно, по исчезновению в разрезе типичных для постипающей ее свиты зеленовато-серых, лилово-серых песчаников. О взаимоотношениях с нерасчлененными отложениями вышележащих островной и климинской свит судить не представляется возможным, так как эта часть разреза нигде не вскрыта.

Литологически мошаковская свита представлена преимущественно красноцветными песчаниками с прослоями алевролитов, аргиллитов и конгломератов, мощность которых, ввиду плохой обнаженности, не установлена. Песчаники имеют красновато-бурый с фиолетовым оттенком, реже светло-серый, розовато-серый и желтовато-серый цвет и неравномернозернистую структуру. Состоит песчаники из зерен кварца и полевого шпата, чешуек слюды, единичных зерен циркона, граната, турмалина. Цементирующими веществом являются окислы железа; тип цемента — поровый, реже контактный. Алевролиты и аргиллиты имеют красно-бурый цвет. Состав их аналогичен песчаникам.

Верхняя часть свиты, развитая на левом берегу р. Верх. Курыш, характеризуется появлением в разрезе более грубозернистого материала, представленного крупнозернистыми кварц-полевошпатовыми песчаниками, гравелитами и конгломератами. Конгломераты красновато-фиолетового цвета состоят из хорошо окатанной гальки кварцита и кварца размером от 1—10 см, сцепментированной песчаником.

В верхней части мошаковской свиты в районе отм. 376 м к северо-западу от д. Ивантай наблюдается погребенная кора выветривания мощностью около 2,5 м. Коры выветривания представляет собой скопление каолинизированных и ожелезненных обломков разрушенных песчаников, гравелитов и конгломератов, погруженных в песчанистую дресву. Возраст коры выветривания остается невыясненным.

Нижняя часть свиты, сложенная переслаивающимися мелкозернистыми песчаниками и алевролитами, может быть сопоставлена с нижнемошаковской подсвитой, а верхняя (песчаники с прослоями конгломератов) — с верхне-мошаковской, выделенными А. В. Благодатским на площади листа О-46-ХХIII.

Фрагмент части разреза выходит на дневную поверхность к северо-западу от г. Канска по нарушению типа взбросо-надвига. Онажающиеся здесь слои представлены переслаивающимися пестроокрашенными доломитами и известковистыми песчаниками мощностью от 0,2 до 5—7 м, реже до 12 м. Для доломитов характерны розовато- и красновато-лиловые, красно-бурые, темно-серые тона окраски, частое окварцевание, кавернозность. Песчаники неравномернозернистые, плитчатые; имеют красновато-бурую, желтовато- и зеленовато-серую, фиолетовую окраску; цемент карбонатный, участками железисто-карбонатный. Вскрытая мощность песчано-доломитовой пачки около 300 м. Истинную мощность установить трудно; ориентировочно она на основании графических построений и с учетом данных А. В. Благодатского (1961ф) и Ю. И. Парфенова (1961ф) составляет около 1800 м.

Возраст пород тасеевской серии определяется на основании следующих данных. Абсолютный возраст пород чивидинской свиты, распространенной на севере Енисейского кряжа, дает цифру 745 млн. лет (Г. А. Казаков, определения по глаукониту). Эта цифра по современной геохронологической шкале соответствует верхам синия. Учитывая то обстоятельство, что породы чивидинской свиты сопоставляются с нижней частью разреза тасеевской серии, а вышележащие отложения значительной мощности, в возрастном отношении почти не охарактеризованы, возраст тасеевской серии в целом определяется как *Sn—Cm<sub>1</sub>*. Отнесение верхней части разреза тасеевской серии к кембрию подтверждается в какой-то мере тем, что в разрезе по р. Тасеевой найдены кембрийские споры (Л. А. Лысова, Е. Л. Дробкова, 1955—1956 гг.), а в разрезе по р. Талова (Благодатский, 1961ф) породы этой серии согласно определяются фаунистически охарактеризованными отложениями верхов ленского яруса нижнего кембрия.

## КЕМБРИЙСКАЯ СИСТЕМА

Отложения кембрийской системы, относящиеся к ее нижнему отделу, имеют весьма ограниченные выходы на дневную поверхность и наблюдаются в северо-западной и центральной частях площади листа. На значительной площади эти отложения перекрыты более молодыми и вскрыты отдельными колонковыми скважинами.

В пределах погребенного Саяно-Енисейского поднятия и изученной части Рыбинской впадины кембрийские отложения отсутствуют.

По палеонтологической характеристике кембрийские отложения юго-западной части Сибирской платформы подразделяются на нижний и верхний отделы.

На основании литологических сопоставлений с аналогичными фаунистически охарактеризованными отложениями соседних районов нижний отдел представлен двумя свитами: нерасчлененными отложениями островной и климинской свит и свитой дыроватого утеса. Отложения верхнего отдела представлены эвенкийской свитой.

### Нижний отдел

Островная и климинская свиты нерасчлененные (*Cm<sub>1os+kl</sub>*). Отложения, относимые к этим свитам, на дневную поверхность не выходят, будучи перекрыты мощной толщей более молодых осадков. Характер залегания свит на мошаковской остается не выясненным, ввиду отсутствия фактического материала. По данным Ю. И. Парфенова (1961ф), отложения нижнего кембрия несогласно, с конгломератами в основании, залегают на породах мошаковской свиты. С вышележащей свитой дыроватого утеса они связаны постепенным переходом.

В пределах площади листа, с помощью скважин колонкового бурения, изученной является лишь незначительная — верхняя часть. О строении свит в целом можно судить по аналогии с соседними, более северными районами Преденисейского краевого прогиба (Благодатский, 1961ф), где они сложены преимущественно доломитами и известняками с подчиненным значением песчаников, аргиллитов и каменной соли.

Следует отметить, что нижняя и средняя часть разреза нерасчлененных отложений островной и климинской свит, также как и контакт с подстилающими их мошаковской свитой, остались совершенно не изученными.

Судя по разрезу Тынысской опорной скважине, расположенной к северу за пределами территории листа (Фукс, 1958ф), эти части свит должны быть представлены мощной карбонатно-соленосной пачкой, сопоставляемой с усольской свитой Иркутского амфитеатра. Мощность составляет около 1800 м.

Верхняя часть разреза нерасчлененных отложений на описываемой территории вскрыта скв. 14 (Свидерский, 1959), которая прошла по ним в интервале 953—1100,5 м. Здесь разрез представлен толщей черных слюдистых доломитов, переслаивающихся с известковистыми песчаниками при преобладании доломитов. Песчаники имеют зеленовато-серый и буровато-коричневый цвет, кварц-полевошпатовый состав, неравномернозернистую структуру. Мощность слоев колеблется от 0,2 до 10 м, редко до 20—30 м. Таким образом вскрытая верхняя часть разреза составляет около 150—160 м. В районе оз. Улюколь, расположенному в 5 км к северо-западу от листа, где нерасчлененные отложения этих свит выходят на поверхность, Л. П. Ляшенко (1957 г.) в климинской свите найдены трилобиты *Bulaiaspis vilogdini* Legm.

Нерасчлененные отложения островной и климинской свит на площади листа фаунистически не охарактеризованы. Однако стратиграфическое положение их в разрезе кембрия и литологический состав позволяют сопоставить с одноименной свитой нижнего течения р. Тасеевой, возраст которых подтвержден фаунистически А. В. Благодатским (1961ф), а также Б. А. Фуксом (1958ф). Здесь собрана фауна, характерная для тальбочанского горизонта: *Bulaiaspis vilogdini* Legm., *Bulaiaspis primus* Rep., *Bulaiaspis Limbatus* Rep. В полном своем объеме отложения обеих свит соответствуют вместе

взятым усольской и бельской свитам Иркутского амфитеатра. Мощность этих отложений принимается около 2000 м.

Свита дыроватого утеса (*Cm<sub>1dr</sub>*). Отложения свиты на дневную поверхность выходят в районе д. Чурюково, а также вскрыты единичными колонковыми скважинами в районе деревень Леонтьевка, Моховая, Тайнушка. Залегают они согласно на нерасчлененных отложениях островной и климинской свит, перекрываясь трансгрессивно отложениями эвенкийской. Граница с подстилающими отложениями проведена условно по проявлению в разрезе частых прослоев гипса, алевролита и глинистых сланцев.

Характерной особенностью свиты является пестрота ее литологического состава: здесь наблюдается частое переслаивание доломитов с песчаниками, аргиллитами, алевролитами, гипс-ангидритами. В целом доломиты несколько преобладают в разрезе над остальными разностями пород; мощность отдельных прослоев колеблется от нескольких сантиметров до 10 м. Доломиты темно-серые и черные, слюдистые; песчаники темно-серые и буровато-коричневые, кварц-полевошпатовые, известковистые; аргиллиты алевролиты зеленовато-черного и черного цветов. Гипсы серые, серовато-черные, кристаллические, загрязненные включениями доломитов и песчаников, в разрезе свиты встречаются довольно часто в виде пластов мощностью от 0,8—1 м до 9,6 м.

Наиболее полный разрез ее вскрыт скв. 14 в интервале 719—953 м (Свидерский, 1959ф).

Мощность изученной части свиты около 250 м. Общая мощность, вероятно, составляет много более 350 м. Возраст определяется как нижнекембрейский, исходя из находок фауны *Hyolithes* в скв. 47 у д. Леонтьевка (Ковалев, 1955ф) и стратиграфического положения ее в разрезе. В отложениях одноименной свиты Приангарья на площади листа О-46-ХХIII А. В. Благодатским (1961ф) найдена фауна *Bergeroniaspis* sp.; *Bergeroniellus* sp., *Jakutus* sp., являющаяся руководящей для олекминского горизонта.

Свита дыроватого утеса является стратиграфическим аналогом булайской свиты Иркутского амфитеатра.

Рассмотренный комплекс синийских и нижнекембрейских отложений отличается резко повышенными мощностями, что заставляет некоторых исследователей считать их завышенными. Так, А. А. Предтеченский предполагает, что мощность всего комплекса следует уменьшить примерно в 2 раза. Такое мнение не подтверждается всей суммой фактического материала. Мощность всего разреза до складчатого основания, подсчитанная на основании данных магнитной съемки, составляет около 15 000 м, что позволяет считать мощность отложений синия и нижнего кембрия не менее 8000—10 000 м.

Кроме того, по данным А. В. Благодатского (1961), закономерное увеличение мощности карбонатно-терригенных отложений кембрия наблюдается с севера на юг вдоль восточного склона Енисейского кряжа. Так, мощность свиты дыроватого утеса на р. Тасеевой 500—600 м, а к югу в районе оз. Улюколь она достигает 1100—1200 м; мощность климинской свиты — с 800 м возрастает до 2000—2500 м, эвенкийской — с 800 м до 1500—1700 м.

Такая же закономерность выявляется и с запада на восток. В Тынысской опорной скважине, расположенной севернее описываемой территории, примерно на той же долготе, по климинской свите пройдено около 2000 м, и скважина не вышла из отложений свиты.

Из приведенных цифр вытекает вполне закономерное, в общем 2,5-кратное увеличение мощностей с севера на юг и запада на восток.

Все это свидетельствует, что описываемая территория располагается в особой структурной зоне, совпадает примерно с осью Преденисейского краевого прогиба байкальской складчатой зоны.

### Верхний отдел

Эвенкийская свита (*Cm<sub>2ev</sub>*). Отложения эвенкийской свиты на дневную поверхность выходят на весьма ограниченной площади к северу от д. Сухо-Ерша и в районе 14 км, северо-западнее г. Канска. Однако они имеют широкое площадное развитие в центральных частях предгорного про-

гиба и вскрыты рядом скважин колонкового бурения восточнее деревень Ко- сачевка, Леонтьевка. Свита трансгрессивно с конгломератами в основании залегает на отложениях свиты дыроватого утеса нижнего кембрия и трансгрессивно перекрываются отложениями ордовика. Сложена она пестроцветными известковистыми алевролитами, местами переходящими в мергели и в меньшей мере полимиктовыми песчаниками и аргиллитами. По литологическим признакам свита расчленяется на несколько характерных пачек (снизу):

1. Песчано-алевролитовая пачка, представленная частым чередованием известковистых алевролитов и неравномернозернистых кварц-полевошпатовых песчаников красновато-бурового и зеленовато-серого цвета. Мощность отдельных чередующихся пластов 0,5—25,0 м. Мощность 270 м (скв. 42; Ковалев, 1955ф).

2. Пачка пестроцветных известковистых алевролитов с преобладанием красновато-бурых тонов; наблюдается вторичная загипсованность. В отдельных частях разреза содержание гипса достигает 15—20%. Мощность пачки 670 м. Наиболее полный разрез пачки вскрыт скв. 14 к северу от д. Моховой (Свидерский, 1959ф).

3. Верхняя песчано-алевролитовая пачка мощностью 45 м вскрыта скв. 52 (Б. В. Ковалев).

4. Пачка известковистых кварц-полевошпатовых песчаников, содержащих редкие прослойки известковистых алевролитов. Мощность 120 м (скв. 38, Б. В. Ковалев).

5. Песчано-аргиллитовая пачка, сложенная переслаиванием полимиктовых и кварц-полевошпатовых песчаников с аргиллитами, мощность 240 м (скв. 35, Б. В. Ковалев).

На основании литологического сопоставления отложений свиты, развитых в пределах листа, пачка 1 по объему соответствует нижней подсвите эвенкийской свиты, вторая пачка — средней подсвите, а пачки 3, 4, 5 — верхней подсвите серийной легенды.

Мощность свиты непостоянна. Наблюдается ее закономерное возрастание с запада на восток. Мощность пород свыше 1300 м. Отложения свиты на площади листа фаунистически не охарактеризованы. Литолого-стратиграфические сопоставления их с разрезом Иркутского амфитеатра позволяют параллелизовать свиту с верхнекембрийской, возраст которой с достоверностью определен как верхнекембрийской на основании находок трилобитов *Kuraspis obscurus* N. Tchern. в бассейне р. Подкаменной Тунгуски в аналогичных породах обнаружены остатки *Crepicephaluss* sp. На основании приведенных данных возраст эвенкийской свиты принимается верхнекембрийским.

## ОРДОВИКСКАЯ СИСТЕМА

### Средний отдел

Криволуцкий ярус (?) — О<sub>2</sub>к?

Ордовикские отложения выделены весьма условно. На дневную поверхность выхода не имеют и вскрыты скважинами 24 и 25 (деревни Рудянья, Тагаш). Впервые они выделены Б. В. Ковалевым (1955ф). По его данным, эти отложения несогласно залегают на породах эвенкийской свиты и перекрываются трансгрессивно, с угловым несогласием, отложениями кунгусской свиты верхнего девона. Представлены они сравнительно мощной толщей переслаивающихся пестроокрашенных крепких песчаников, преимущественно кварц-полевошпатового состава, с частыми маломощными прослойками красновато-бурых алевролитов, реже гравелитов.

Наиболее полный разрез ордовика наблюдается в скв. 24.

а. В основании залегает пачка конгломерата, состоящего из хорошо окатанных галек кварца розового и красновато-серого цвета, размером до 4 см, слабо сцепленных глинисто-песчаным цементом. Мощность 14,0 м.

б. Пачка песчаников красновато-коричневых, грубозернистых, косослоистых, кварц-полевошпатовых на глинисто-железистом цементе, сменяющихся выше аналогичными мелкозернистыми песчаниками с редкими прослойями гравелита. Мощность 39,8 м.

в. Сравнительно мощная пачка переслаивающихся между собою полимиктовых, разнозернистых песчаников на глинисто-железистом цементе с прослойями гравелита розовато-серых, вишнево-красных, коричневых тонов окраски. К верхней части описываемой пачки приурочены редкие прослои красно-бурых алевролитов, местами гравелитистых песчаников. Мощность 87,4 м.

г. Мощная пачка, сложенная преимущественно песчаниками светло-серыми, розовато-серыми, разнозернистыми, косослоистыми, кварц-полевошпатовыми на глинисто-железистом цементе с частыми прослойками (до 0,1—0,2 м) красно-бурых алевролитов. Мощность 102,0 м.

д. Разрез ордовика заканчивается пачкой песчаников розовато-зеленовато-серых, среднезернистых, с незначительной карбонатностью и стяжениями марказита, кварц-полевошпатового состава, сцепленных железисто-глинистым цементом. Мощность пачки 47,5 м.

Общая мощность ордовика в пределах площади листа колеблется от 155,5 до 290,5 м с увеличением к центру впадины.

Возраст песчаниковой толщи определяется условно как ордовикский только на основании литологического сопоставления ее с осадками нижней части мамырской свиты (среднее течение рек Бирюсы и Чуны), где аналогичные отложения охарактеризованы фаунистически (Васильев и др., 1957) и отнесены к Криволуцкому ярусу.

А. Д. Калиновским (Караев, 1959 г.) в песчаниках мамырской свиты (бассейн средних течений рек Бирюсы и Чуны) собрана фауна брахиопод, определенная М. Е. Никифорович (ВСНГ) как *Angarella lopatini* Asat; в аргиллитовых же прослоях, на верхних горизонтах аналогичных отложений Т. Н. Спижарским (1953) по р. Бирюсе была найдена фауна брахиопод *Angarella obrutschevi* Asat, *A. lopatini* sp. nov., *Angarella* sp., а также ядра плохо сохранившихся крупных гастропод *Bellerophon*.

## ДЕВОНСКАЯ СИСТЕМА

### Верхний отдел

Кунгусская свита ( $D_{3kn}$ ). Выходы на поверхность отложений кунгусской свиты наиболее широко распространены в долине р. Кан ниже с. Аянцирь, а также в сводовой части Канской антиклинали и на продолжении ее в северо-западном направлении. Под более молодыми отложениями, по данным бурения, кунгусская свита пользуется повсеместным площадным распространением.

Отложения ее трансгрессивно, с характерным горизонтом конгломерата в основании, залегают на размытой поверхности более древних образований; в юго-западной части площади листа они перекрывают докембрийские граниты, гнейсы, а по направлению к северо-востоку — отложения синия, кембрия и ордовика.

В южной части площади листа разрез кунгусской свиты наращивается согласно залегающими осадками чаргинской свиты, а в северной части отложения несогласно перекрыты юрой.

Сложена свита в основном известковистыми красноцветными алевролитами, переслаивающимися с аргиллитами; в меньшей мере полимиктовыми известковистыми песчаниками, известковыми псевдоконгломератами, редко известняками.

Базальные конгломераты имеют повсеместное распространение. Состав их (галка гранита, кварца, кварцита, диабазов, сланцев) соответственно меняется с запада на восток и становится более постоянным (галка кварца, кварцитов). Мощность конгломератов от 3 до 20—30 м.

Характерной особенностью осадков свиты являются невыдержанность их литологического состава в горизонтальном и вертикальном направлениях. При общей невыдержанности состава разрез свиты в юго-западной части площади листа существенно отличается от его центральных частей.

В юго-западной части описываемой территории свита представлена толщей переслаивающихся красноцветных известковистых алевролитов и аргиллитов с редкими прослоями глинисто-песчанистых известняков и довольно мощными (до 15 м) линзами характерных известковистых псевдоконгломератов (в разрезе их насчитывается до 10—20).

Главенствующую роль в разрезе здесь занимают известковистые алевролиты красных тонов окраски с прослойми и пятнами серовато-зеленого цвета. Почти повсеместно в них наблюдаются глинисто-известковистые стяжения округлой и уплощенной формы.

Псевдоконгломераты, образующие выклинивающиеся прослон и линзы, имеют светло-серую, реже кирпично-красную и пятнистую окраску. Состоят они на 50—70% из известковистых стяжений (пизолитов), сцепленных кальцитом с примесью глинистого, железистого и обломочного материала.

В центральной части площади листа в разрезе свит, особенно в нижней и верхней ее частях, заметно возрастает роль песчанистого материала и уменьшается количество и мощность прослоев известковых псевдоконгломератов.

Низы здесь сложены разнозернистыми полимиктовыми песчаниками на известковистом цементе, зеленовато-серого, розовато-серого и кирпично-красного цвета. Мощность пачки песчаников, по данным бурения, составляет 50—60 м, изредка 130—160 м. Песчаники содержат большое количество известковых стяжений, а также редкие прослои песчанистых известняков мощностью 1—2, реже до 10 м. В районе деревень Тагаши и Рудяное (скважины 24 и 25) среди песчаников залегает несколько силлов траппов мощностью до 20 м. Эта пачка на основании литологического сходства может быть сопоставлена с павловской свите среднего девона, развитой в Рыбинском предгорном прогибе. Однако для выделения этих отложений в самостоятельную свиту нет достаточного фактического материала.

На песчаниках повсеместно залегает пачка красноцветных известковистых алевролитов, переслаивающихся с аргиллитами мощностью до 200 м. Эта пачка в основном аналогична пачке, встречающейся в разрезе юго-западной части площади листа. Однако прослон известковистых псевдоконгломератов встречаются здесь реже и имеют меньшую мощность.

Мощность свиты колеблется от нескольких десятков метров в пределах западной части и до 400 м в центральных частях описываемой территории, но большей частью не превышает 250—300 м.

По условиям образования красноцветные отложения представляют собой типичные осадки предгорной равнины, образовавшиеся в условиях аридного климата.

Возраст отложений кунгусской свиты определяется на основании находок в них ископаемой фауны и флоры. Из обнажений по р. Кан ниже и выше г. Канска, а также из керна скв. I у д. Анцирь, скв. 32 у д. Леонтьевка, скв. 60 у д. Астафьевка и скв. 50 на р. Алатка, в различных частях разреза свиты отобраны остатки панцирных рыб: *Osteolepis makrolepidotus*, *Bothriolepis* sp., *Dipterus verneilli*, *Osteolipeda insgen* и фидры: *Dicranophiton* sp., *Hostimella hostimensis* Pet, Br, *Psilophiton princeps* D.

Приведенный выше комплекс фауны дает право возраст отложений кунгусской свиты датировать верхнедевонским.

В случае достоверного отнесения полимиктовых песчаников в низах разреза к павловской свите, возраст пород в объеме кунгусской свиты, принятого авторами, может датироваться  $D_{2-3}$  и именоваться нерасчлененными отложениями павловской и кунгусской свит.

## ВЕРХНДЕВОНСКИЕ И НИЖНЕКАМЕННОУГОЛЬНЫЕ ОТЛОЖЕНИЯ

Чаргинская свита ( $D_3$ — $C_1kr$ ). Отложения свиты распространены главным образом в южной части площади листа. Перекрыты они отложениями согласно залегающей красногорьевской свиты нижнего карбона, а местами трангрессивно отложениями юры.

Выходы их на дневную поверхность наблюдаются лишь в долинах левых притоков р. Кан, по правобережью р. Кан у деревень Подаяйск, Анцирь, а также на крыльях и в сводовой части Канско-Ачинской антиклинали к северо-востоку от г. Канска.

Отложения свиты согласно залегают на кунгусской; граница между ними проведена весьма условно, так как нижняя часть разреза чаргинской свиты литологически схожа с кунгусской. Основными признаками для чаргинской свиты является наличие пластов окремненных известняков и отсутствие мощных пластов известковых псевдоконгломератов, характерных для кунгусской свиты.

Свита состоит из переслаивающихся пестроцветных алевролитов, аргиллитов, окремненных известняков и туффитов, причем алевролиты преобладают.

Нижняя часть разреза представлена чередующимися кирпично-красными и зеленовато-серыми известковистыми алевролитами, иногда постепенно переходящими в аргиллиты с преобладанием красных тонов. Изредка встречаются прослои окремненных известняков мощностью до 0,8 м. По мнению М. И. Грайзера, эта пачка должна быть отнесена к верхам кунгусской свиты, что противоречит фактическому материалу.

Средняя часть свиты имеет аналогичный состав, но отличается сравнительно большим количеством пластов светло-серого пелитоморфного окременного известняка мощностью от 2 до 5 м. Пласти не выдержаны по простиранию.

В верхней части прослеживается по всей площади листа мощный (13—30 м) пласт окременного известняка и подчиненные прослои туффитов. Структурно-литологические особенности известняков верхней части разреза (реликтовая, оолитовая структура, замещение известняка халцедоном) позволяют считать их осадками изолированного водного бассейна типа неглубокого озера.

Мощность колеблется от 60 до 90 м. Свита на площади листа фаунистически не охарактеризована. В Рыбинской впадине в самых низах была найдена ихтиофауна *Dipterus* sp. и *Megistolepis ofklementzi* Obrg., характерная для верхнего девона. В верхах ее (возможно, в пачке переходной к красногорьевской свите) в правом борту р. Мал. Камала у д. Мал. Камала (лист О-46-XXXV) Ю. И. Парфеновым (1961ф) была собрана ихтиофауна, определенная Д. В. Обручевым как *Strepsodus sibericus* Chab — форма, характерная для надалтайской свиты Минусинской котловины. Тот факт, что отложения чаргинской свиты согласно залегают на фаунистически охарактеризованной кунгусской и согласно перекрываются отложениями красногорьевской свиты с флорой, характеризующей визейский ярус нижнего карбона, а также перечисленная ихтиофауна, позволяют датировать возраст ее как верхнедевонский — нижнекарбоновый ( $D_3$ — $C_1$ ).

## КАМЕННОУГОЛЬНАЯ СИСТЕМА

### Нижний отдел

Красногорьевская свита ( $C_1kr$ ). Пестроцветные терригенные породы, выделяемые под названием красногорьевской свиты, имеют ограниченное распространение. Незначительные по площади обнажения приурочены, как правило, к долинам рек (Тырбыл, Мал. и Большой Уря, Карайбул). Наблюдаются они также в устье р. Илань. На остальной части площади листа свита несогласно перекрыта юрскими отложениями и изучена по керну скважин.

Красногорьевская свита согласно залегает на чаргинской и отличается от нее по литологическому составу и окраске пород. Сложена она монотонно переслаивающимися аргиллитами, туфлитами, песчаниками и алевролитами при преобладании аргиллитов и туфлитов. Для свиты характерна светло-серая с голубоватым, зеленоватым, реже желтоватым оттенком окраска пород.

В нижней части залегает пачка чередующихся песчаников и алевролитов местами с прослойями известняков. Мощность пачки колеблется от 6 до 40 м.

В верхах разреза преобладают обычно голубовато-серые аргиллиты и туфлиты с прослойями кирпично-красных аргиллитов. Мощность пачки колеблется от 6 до 24 м.

Песчаники обычно кварцевые, реже кварц-полевошпатовые, на известковистом цементе светло-серого, серовато-желтого, кремового, иногда бурого цвета. Структура их неравномернозернистая, текстура массивная. Туфлиты обычно серые, часто с зеленоватым оттенком, массивные, плотные, очень крепкие, часто фарфоровидные с раковистым изломом. Общая мощность красногорьевской свиты в большинстве случаев равна 30—40 м, редко достигает 74 м.

Сопоставляя литологический разрез свиты с полным ее разрезом в центральной части Рыбинской впадины, где и обнаружена визейская флора, можно сделать вывод, что на описываемой территории сохранилась лишь нижняя ее часть. Возраст свиты устанавливается как нижнекарбоновый по сопоставлению с аналогичными отложениями Рыбинской впадины (лист N-46-V), в которых найдена следующая флора: *Prelepidodendron varium* Radcz sp. nov., *Tomiodendron ellipticum* Radcz sp., *Unsodendron chacasius* Radcz sp. nov., *Zalessuodendron olternans* (Schm) Radcz.

По р. Батоушке (лист N-46-IV) М. И. Грайзером в 8 м от подошвы красногорьевской свиты найдены остатки рыб *Strebsodus siberiacus* Chab, свидетельствующие о турнейском возрасте ее нижних горизонтов.

По заключению Г. П. Радченко, упомянутая флора характерна для визейских отложений самохвальской свиты Минусинской впадины. Таким образом, возраст свиты в целом датируется турнейским и визейским ярусом нижнего карбона.

Тушамская свита (*C<sub>1</sub>ts*). Отложения тушамской свиты известны лишь в южной части площади листа, где пользуются спорадическим распространением. Выходы их на дневную поверхность незначительны по площади и представляют собою в одних случаях «нашлепки», залегающие на кунгурской и чаргинской свитах, в других — останцы, возвышающиеся среди юрских отложений (водораздельное пространство рек Тырыль и Мал. Ур). Тушамская свита с перерывом и угловым несогласием залегает на отложениях девона и карбона, перекрывается согласно отложениями листвянинской.

Литологический состав отложений свиты весьма не выдержан и фационально изменчив. Представлен он преимущественно конгломератами и конгломерато-брекчиями на халцедоновом цементе, а также аркозовыми песчаниками и подчиненными прослойками флинтклей.

В основании разреза, как правило, залегают конгломератобрекчи с малошкольными прослойками песчаника мощностью от 0,4 до 25—30 м. Конгломерато-брекчи серого и светло-серого цвета состоят из плохо окатанной гальки и обломков халцедона, реже кварца и кварцита, сцементированных кремнистым и опалово-халцедоновым веществом. Размер обломков — от долей миллиметра до 2 см. Этот горизонт является очень характерным и легко картируется в поле. Мощность пластов не постоянна и колеблется от 0,4 до 20 м.

Местами основание свиты сложено переслаивающимися крупно- и мелкогалечниковыми конгломератами, состоящими из хорошо окатанной гальки известняка и остроугольных обломков кремня от 5 до 10 см. Цемент халцедоновый. Мощность конгломератов ниже д. Белоярское достигает 25—30 м.

Иногда в основании свиты, в небольших западинах рельефа, залегает

белая, участками кремовая, брекчиивидная плотная глинисто-кремнистая порода с желваками и стяжениями кремня. Мощность этого слоя колеблется от 2 до 5 м. Стратиграфически выше залегает пласт (мощностью от 0,2—2 м) белых, плотных, каолиновых глин с кремнистыми включениями и углистыми частицами. По химическому составу они относятся к флинтклейм. Подобный разрез установлен лишь у д. Подаяйск, в устье р. Мохового и по обеим берегам р. Илань, в 1,4 км выше ее устья. Во всех случаях этитолици подстилаются известняками чаргинской свиты.

Установлено, что брекчиивидные породы и флинтклейм представляют собой переотложенную кору выветривания нижнего карбона.

Стратиграфически выше, на описанных базальных горизонтах залегает пачка слабосцепментированных аркозовых песчаников, светло-серого цвета. Для них характерна плохая окатанность материала, присутствие гравелистистых частиц, мелкой гальки и обломков кремня, а также косая слоистость. Мощность пачки около 27 м. Эта часть разреза развита в левом борту долины р. Кан.

Полная мощность свиты около 60 м, однако на большей части площади сохранилась лишь самая нижняя часть ее мощностью от 5 до 20—30 м. Возраст тушамской свиты датируется как нижний карбон на том основании, что она залегает на отложениях красногорьевской свиты нижнего карбона, и путем литологического сопоставления с отложениями одноименной фаунистически охарактеризованной свиты, развитой в северной части Тасеевского унаследованного прогиба (Спижарский, 1958).

### Средний и верхний отделы

Листвянинская свита (*C<sub>2+3</sub>ls*). Отложения листвянинской свиты пользуются весьма ограниченным распространением и сохранились лишь в ядрах небольших синклинальных структур в районе деревень Белоярское, Новосмоленка, ст. Филимоново. Залегают они согласно на тушамской и перекрываются несогласно юрскими отложениями.

Литологически свита представлена песчаниками, алевролитами, аргиллитами, прослойями бурых углей. В основании залегает пачка сильно каолинизированных кварц-полевошпатовых песчаников, переслаивающихся с аргиллитами. Песчаники светло-серые, кварц-полевошпатовые, среднезернистые с тонкими прослойками углистого вещества. Мощность пачки от 4 до 10 м.

Выше по разрезу залегает пачка аргиллитов, переслаивающаяся с песчаниками и прослойями бурых углей. Аргиллиты серые, иногда с зеленоватым оттенком, углистые, тонкоплитчатые. Песчаники зеленовато-желтые, серые, слабосцепментированные с маломощными и нитевидными прослойками углистой сажи. Мощность прослоев бурого угля не более 15—20 см; мощность пачки около 25 м. Полная мощность свиты составляет около 35—40 м. Из обнаруженных у ст. Филимоново, деревень Белоярское и Новосмоленка различными исследователями были собраны отпечатки следующих растений: *Paracalatiales tehuicostas* Neub, *Angaropteridium cordiopteroides* (Schum) Zal<sup>1</sup>, *Phyllotheca geliguecens* (Goep) Schmal<sup>1</sup>, *Angarodendron Obrutschevi* Zal<sup>1</sup>, *Angarium* Spn, *Koretrophyllites acuminata* (Chachl) Radcz em. n., *Noeggerathiopsis* Spn, *Samaropsis minuta* Radcz sp, *Cardiacarpus tomentis* C. rotunda sp. n.

Этот комплекс растительных остатков, по мнению М. Ф. Нейбург (1957), в Кузбассе характеризует мазуровскую и алыкаевскую подсвиты нижнебалахонской свиты, возраст которой датируется средне-верхнекарбоновый.

По данным Н. С. Сахановой (1952), спорово-пыльцевой комплекс свиты состоит из *Angaropteritrites trichacanthus* Lub. (до 75%), *Azonotriletes gibberulus* Lub, *Phyllotheconites nigritellus* Lub, *Azonotriletes rigidispinosus* Lub, *A. resistens* Lub, *Filicitriletes puramidales* Lub, *F. rubiginosus* Lub, *Zonotriletes sarcostematus* Lub, *Walchizonaletes grandis* Lub. и другие типично карбоновые споры. Указанный спорово-пыльцевой комплекс определяет возраст свиты как *C<sub>2+3</sub>*.

По спорово-пыльцевому комплексу отложения листвяжинской свиты сопоставляются с черногорской свитой Минусинского угольного бассейна и с низами нижнебалахонской (алыкаевская и мазуровская толщи) Кузбасса, возраст последних по унифицированной схеме Кузбасса 1954 г. определяется как  $C_{2+3}$ .

#### ЮРСКАЯ СИСТЕМА

Континентальные угленосные отложения, широко развитые в пределах листа, примыкают к юго-западной части Канско-Тасеевской и северо-восточной — Рыбинской впадин, входящих в состав Канско-Ачинского буруугольного бассейна. В составе юрских отложений выделены следующие свиты (снизу): переясловская, камалинская и бородинская. Критерием для выделения этих свит послужила ритмичность в угленакоплении и особенности литологического состава пород. Возрастная датировка свит обосновывается находками флоры и определениями спорово-пыльцевых комплексов.

Граница между переяловской и камалинской свитами в северной части листа проводится условно по исчезновению маломощных пластов бурьих углей в верхней части разреза нижней юры и по появлению мощной пачки песчаников, лежащих в основании камалинской свиты, в южной — по исчезновению в разрезе крепких сливных кварцевых песчаников. Граница между камалинской и бородинской свитами проводится по кровле пласта бурого угля «Мощного».

Литологически свиты отличаются сравнительно хорошо. В частности, переяловская свита имеет значительную степень литификации. Камалинская свита содержит известковистые песчаники (до 4 пластов), пласти бурьих углей рабочей мощности и характеризуется относительно слабой степенью уплотнения пород. В разрезе бородинской свиты отсутствуют известковистые песчаники; пласти бурьих углей имеют мощность до 0,7 м. Породы свиты слабо литифицированы и по физическим свойствам близки к современным осадкам. В нижней подсвите камалинской свиты совершенно отсутствуют известковистые песчаники, а пласти бурьих углей имеют мощность от 4,5 до 8,5 м. В составе верхней подсвиты пласти бурьих углей достигают 20,0 м и насчитываются до 4 пластов известковистых песчаников.

Ритмы осадконакопления угленосной толщи, положенные в основу выделения стратиграфических единиц, начинаются трангрессивной частью ритма седиментации и заканчивается отложениями бурьих углей.

#### Нижний отдел

Переяловская свита ( $J_1 pr$ ). Переяловская свита в пределах площади листа имеет ограниченное распространение. По мнению авторов, осадки нижней юры накапливались в наиболее прогнутых частях домезозойских впадин. Одна из таких впадин, по данным геофизических и буровых работ, расположена в северо-восточной части описываемой территории, причем ось ее максимального прогиба находится за его рамкой.

В северной части она трангрессивно залегает на породах кунгусской свиты, согласно перекрывается отложениями камалинской свиты средней юры. Свита сложена песчаниками, переслаивающимися с пластами аргиллитов мощностью 6—10 м, реже алевролитов, которым подчинены редкие прослои бурьих углей и углистых аргиллитов мощностью 0,2—0,4 м.

Песчаники, составляющие 60—70% от объема свиты, обычно серые, разнозернистые, плотные, реже слабосементированные, кварцевые. Цемент — глинистый или известковисто-глинистый. Аргиллиты имеют плотное сложение, зеленовато-серую окраску, содержат растительные остатки и углистый дегрит. Серые и зеленовато-серые алевролиты по составу аналогичны песчаникам. Мощность свиты в северной части площади листа, по данным И. А. Санжара (1951ф), 50—60 м.

В южной части выходы ее на поверхность наблюдаются по р. Кан, у д. Новосмоленки, а также по рекам Тырыл и Большой Урья. Залегают они

здесь несогласно на отложениях палеозоя и перекрываются нижней подсвитой камалинской свиты. Свита сложена плотными, серыми кварцевыми, реже кварц-полевошпатовыми песчаниками, на кремнистом цементе с крупными водяно-прозрачными зернами кварца, переслаивающимися с конгломератами, серыми алевролитами с прослойями бурьих углей до 0,05 м. Мощность слоев конгломератов, песчаников и алевролитов колеблется от 0,3 до 0,7 м. Видимая мощность свиты колеблется от 10 до 25 м.

Переяловская свита представлена нижней частью разреза угленосных отложений Рыбинской впадины. Возраст ее определяется по аналогии с тождественными отложениями смежных районов Канско-Тасеевской и Рыбинской впадин. Из пластов аргилита по разрезу у д. Вознесенки Долго-Мостовского района (за пределами площади листа) И. А. Санжарой собраны, а А. В. Аксаринным определены следующие формы ископаемой флоры: *Cladophlebus hairburnensis* (Zet et Hirt), *Pectinatus* sp., *Sphenopteris* sp., *S. mitabilis* sp. nov., *Coniopteris humenophlebus* (Bogopd), *Raphaelia* sp.

Названные формы, по мнению А. В. Аксарина (1949ф), позволяют считать возраст переяловской свиты нижнеюрским. По данным Н. С. Сахановой (1952ф), в спорово-пыльцевом комплексе свиты преобладает пыльца голосеменных классов Coniferales сем. Pinaceae (59%) и Podocarpaceae (3%) и Bennettitales (12,6%). Основу споровой части комплекса составляют *Osmunda cinnamomeiformis* Sach, *sporodium tener* (Naum), *Salvinia perpulchra* Bolch, *Aletes multiverrucosus* Sach, *Coniopteris congregata* (Bolch.). Споры хвоющей: *Equisetites* и др. Кроме того присутствуют характерные для нижней юры виды *Selaginella sanguinolent tiformis* Sach, *Camptotriletes cerebriformis* Naum, *C. tenellus* Naum и хвойных *Dipterella oblatinooides* Mal, *Protopicea pergrandis* (Bolch) Sach.

Перечисленный спорово-пыльцевой комплекс по Н. С. Сахановой характерен для нижнеюрских отложений и его состав сохраняется не только в Канско-Ачинском угленосном бассейне, но и в одновозрастных осадках Караганды, Кузбасса, Урала и других районов Советского Союза.

#### Средний отдел

Камалинская свита. Камалинская свита, породы которой пользуются на территории листа широким распространением, залегает несогласно на различных свитах палеозоя и отложениях нижней юры. По современным данным представляется доказанным, что в начале средней юры осадконакопление захватило значительно большую площадь, чем в нижнеюрское время.

Свита сложена переслаивающимися песчаниками, алевролитами, аргиллитами и содержит невыдержаные пласти бурьих углей и углистых алевролитов. По литологическим особенностям и степени угленасыщенности камалинская свита разделяется на нижнюю и верхнюю подсвиты.

Нижняя подсвита ( $J_2 km_1$ ). По своему объему породы нижней подсвиты соответствуют, ранее выделенному И. А. Санжарой (1951ф), курайскому горизонту. Полный разрез подсвиты изучен по скв. 4 (2 км северо-восточнее д. Николаевки). Здесь на алевролитах кунгусской свиты с резким угловым несогласием залегают (снизу):

1. Аргиллиты серые с зеленоватым оттенком, с углистыми включениями . . . . .	0,3 м
2. Алевролиты темно-серые с коричневатым оттенком, плотные мелкозернистые с углистыми включениями . . . . .	1,0 "
3. Бурый уголь с матовым блеском . . . . .	0,4 "
4. Алевролиты серые, плотные, массивные . . . . .	1,0 "
5. Алевролиты серые, мелкозернистые, кварц-полевошпатовые на глинистом цементе . . . . .	0,9 "
6. Бурый уголь с матовым блеском и раковистым изломом . . . . .	0,6 "
7. Алевролиты серые, плотные, полевошпатовые на глинистом цементе с тонкими прослойками аргилита . . . . .	1,65 "

8. Аргиллиты углистые, темно-серые, плотные с раковистым изломом	1,5 м
9. Бурый уголь, фюзеновый	1,0 „
10. Алевролиты углистые, темно-коричневые, плотные с включениями обугленных остатков растений	0,5 „
11. Песчаники серые, среднезернистые, кварц-полевошпатовые на глинистом цементе с тонкими прослойками алевролитов	5,5 „
12. Алевролиты серые, плотные, крепкие с углистыми включениями	3,5 „
13. Песчаники серые, среднезернистые, кварц-полевошпатовые с углистыми включениями	1,1 „
14. Алевролиты серые, кварц-полевошпатовые на глинистом цементе	3,4 „
15. Углистые аргиллиты плотные с прослойками бурого угля	2,0 „
16. Песчаники неравномернозернистые, кварц-полевошпатовые на глинистом цементе с тонкими прослойками бурого угля	5,2 „
17. Уголь бурый, фюзеновый, трещиноватый	4,5 „

Полная мощность подсвиты по разрезу составляет 35,5 м.

Вблизи Енисейского кряжа в основании нижней подсвиты появляются конгломераты, которые в удалении от него замещаются песчаниками и алевролитами. Для низов подсвиты характерно также присутствие шаровых конкреций, стяжений сидерита и марказита и общее интенсивное ожелезнение пород. Так, в 2 км северо-восточнее д. Сухо-Ерша, в скв. 6 на породах эвенкийской свиты залегают (снизу):

1. Конгломераты крупногалечные из гальки кварцита и песчанистого цемента размером до 10 см	10,0 м
2. Песчаники светло-серые, кварц-полевошпатовые, слюдистые, глинистые	22 „
3. Алевролиты светло-серые, кварц-полевошпатовые, сильно каолинизированные	0,8 „

На левобережье р. Кан, в 3 км д. Карайбул, в скв. 17 отложения нижней подсвиты залегают на породах красногорьевской свиты и вскрыты (снизу):

1. Песчаники гравелистые, конгломератовидные, светло-серые, кварцевые, сцементированные мелкозернистым песчаником на глинистом цементе	7,5 м
2. Углистые алевролиты с включениями зерен кварца до 0,5 мм	0,6 „
3. Алевролиты серые с зеленоватым оттенком	6,5 „
4. Песчаники неравномернозернистые. Состоят из прозрачных зерен кварца и обломков кремния до 2—3 мм	3,0 „
5. Алевролиты темно-серые, тонкозернистые, с углистыми включениями	1,0 „
6. Песчаники серовато-бурые, мелкозернистые, кварц-полевошпатовые, на глинистом цементе. Вся масса песчаников в сильной степени ожелезнена и содержит остатки стволов растений	10,9 „

Мощность этого разреза составляет 32,8 м.

Приведенные разрезы нижней подсвиты показывают изменчивость как фаций, так и мощностей в различных частях площади листа.

*Верхняя подсвита (J<sub>2</sub>km<sub>2</sub>)*. Верхняя подсвита камалинской свиты согласно залегает на нижней. По своему объему подсвита соответствует выделенному ранее И. А. Санжарой абанскому горизонту. Сложена она серыми песчаниками, сменяющимися вверх по разрезу аргиллитами, алевролитами с пластами и линзами бурых углей и горючих сланцев. Отложения верхней подсвиты, как и нижней, характеризуются значительной изменчивостью фаций, мощности, поэтому разрезы подсвиты даже в близких скважинах резко отличаются.

В восточной части площади листа скв. 1 (1,8 км южнее с. Устьянска) вскрыт полный разрез. Здесь на отложениях нижней подсвиты согласно залегают (снизу):

1. Аргиллиты серые, уплотненные	0,7 м
2. Аргиллиты углистые темно-коричневые с многочисленными отпечатками древесины; местами наблюдаются кристаллы марказита	1,5 „
3. Аргиллиты серые, плотные, массивные	1,0 „
4. Бурый уголь плотный с матовым блеском	1,2 „
5. Алевролиты серые, мелкозернистые, плотные, местами слюдистые на глинистом цементе	1,6 „
6. Бурый уголь, фюзеновый	0,04 „
7. Аргиллиты серые, плотные на глинистом цементе	1,5 „
8. Бурый уголь плотный с матовым блеском, местами фюзеновый с включениями округлых по форме скоплений мелких кристаллов марказита	19,1 „

Этот пласт представляет промышленный интерес. Мощность верхней подсвиты по разрезу составляет 27,0 м.

В д. Козловке, в скв. 2 в разрезе подсвиты представлены следующие породы (снизу):

1. Песчаники серые, среднезернистые, кварц-полевошпатовые на глинистом цементе	5,6 м
2. Песчаники светло-серые, среднезернистые, массивные, крепкие кварц-полевошпатовые на известковистом цементе	2,0 „
3. Песчаники серые, среднезернистые, кварц-полевошпатовые на глинистом цементе	2,25 „
4. Алевролиты серые, массивные, уплотненные, кварц-полевошпатовые, на глинистом цементе	0,8 „
5. Песчаники серые, среднезернистые, кварц-полевошпатовые, на глинистом цементе	10,65 „
6. Песчаники серые мелкозернистые, массивные, кварц-полевошпатового состава на известковистом цементе. В общей массе песчаников наблюдаются углистые включения	0,3 „
7. Песчаники светло-черные, мелкозернистые, кварц-полевошпатовые, слюдистые на глинистом цементе	4,10 „
8. Алевролиты серые, массивные, кварц-полевошпатовые на глинистом цементе	1,3 „
9. Аргиллиты серые, мелкозернистые, кварц-полевошпатовые на глинистом цементе	0,6 „
10. Аргиллиты серые	0,8 „
11. Бурый уголь плотный с матовым блеском, местами фюзеновый	13,0 „

Этот пласт хорошо сопоставляется с пластом бурых углей предыдущего разреза.

Общая мощность верхней подсвиты колеблется от 27,5 до 52,8 м. Изменение мощности камалинской свиты с тенденцией к увеличению намечается с запада на восток по направлению к центральным, наиболее прогнутым частям Канско-Тасеевской впадины. Общая мощность свиты по скважинам колеблется от 32 до 70 м, а в скв. 1 (в районе с. Устьянска), пробуренной до 127,8 м, отложения камалинской свиты на полную мощность даже не вскрыты.

Возраст камалинской свиты определяется как среднеюрский. По заключению палинолога КГУ Л. Н. Шейко споровый комплекс камалинской свиты состоит из преобладающих форм папоротникообразных растений типа *Coniopteris* (59,2%), несколько в меньшем количестве присутствуют споры *Leiotrilites* Naum (18,4%), *Gleichenia* (9,2%), *Osmunda* (6%), из плауновых — *Lycopodium* (7,2%), хвощей — *Equisetites* (12,4%), а в единичной пробе содержание спор последних 34,4%. Пыльцевой комплекс резко преобладает над споровым. Он характеризуется значительным содержанием пыльцы хвой-

ных *Coniferae* (46%), близких к семейству Pinaceae, представленному родами *Pinus*, *Picea*. В незначительном количестве присутствуют пыльца семейства Podocarpaceae (6%).

Кроме хвойных в пыльцевом комплексе присутствуют несколько видов рода *Ginkgo*, а также *Bennetitales* sp. (до 2,8%) и в единичных пробах — *Cycadaceae* (2%).

Перечисленный спорово-пыльцевой спектр характерен для среднеурских отложений.

По мнению Л. Н. Шейко, камалинская свита хорошо сопоставляется с одноименной свитой Рыбинской части Канско-Ачинского бассейна.

Бородинская свита (*Jbr*). Бородинская свита пользуется незначительным распространением только в северо-восточной части площади листа, в междуречье Усолка — Курыш, где она согласно перекрывает отложения камалинской свиты. По своему объему свита соответствует, ранее выделенному И. А. Санжарой, устьянскому горизонту. Сложена она переслаивающимися алевролитами, аргиллитами, песчаниками, углистыми аргиллитами и маломощными пластами бурых углей. Наиболее полный разрез свиты наблюдается в скв. I (в 1,8 км южнее с. Устьянска). Здесь на отложениях верхней подсвиты камалинской свиты согласно залегают (снизу):

1. Песчаники серые, неравномернозернистые с линзами и прослойями алевролита и углистыми включениями. Состоят они из плохо окатанных водяно-прозрачных зерен кварца, полевого шпата и глинистого цемента . . . . .	0,5 м
2. Алевролиты серые, слюдистые, на глинистом цементе, в средней части тонкослоистые за счет переслаивания с нитевидными прослойками бурого угля . . . . .	18,25 ..
3. Аргиллиты серые, плотные . . . . .	0,3 ..
4. Алевролиты серые на глинистом цементе с многочисленными углистыми включениями . . . . .	1,0 ..
5. Углистые аргиллиты с многочисленными отпечатками обуглившихся растений . . . . .	0,8 ..
6. Алевролиты серые, на глинистом цементе с редкими прослойками остатков обуглившихся растений . . . . .	11,6 ..
7. Бурый уголь, флюзеновый с матовым блеском . . . . .	0,7 ..
8. Аргиллиты темно-серые с многочисленными обуглившимися остатками растений . . . . .	2,5 ..
9. Алевролиты с прослойями до 0,3 м кварц-полевошпатового песчаника . . . . .	5,6 ..
10. Бурый уголь, флюзеновый . . . . .	0,4 ..
11. Аргиллиты темно-серые с гидроокислами железа по трещинам . . . . .	2,2 ..
12. Песчаники желтовато-бурые, тонкослоистые, кварц-полевошпатовые на глинистом цементе . . . . .	0,7 ..
13. Аргиллиты темно-серые с углистыми включениями . . . . .	7,2 ..
14. Песчаники мелкозернистые, кварц-полевошпатовые с известковистыми включениями неправильной формы. Цемент глинистый . . . . .	1,7 ..

Общая мощность свиты по разрезу составляет 53,7 м. В разрезе бородинской свиты наблюдаются горельники, образовавшиеся в результате подземных выбросов пластов бурых углей и воздействия тепла на вмещающие породы. Возраст ее, на основании определенного Л. Н. Шейко спорово-пыльцевого комплекса, в общем аналогичного комплексу камалинской свиты, датируется как среднеурский. Отложения свиты в пределах площади листа сопоставляются с нижней подсвитой одноименной свиты Рыбинской части Канско-Ачинского буроугольного бассейна.

#### ЧЕТВЕРТИЧНАЯ СИСТЕМА

Отложения четвертичного возраста на территории листа представлены элювиально-делювиальными, эоловыми и аллювиальными отложениями.

Элювиально-делювиальные отложения распространены на водораздельных пространствах, их склонах и представлены супесями, глинами, суглинками, содержащими дресву и обломки подстилающих их коренных пород. Мощность отложений этого типа не превышает 8—12 м и на геологической карте они не выделяются.

#### Верхний отдел (*Q<sub>3</sub>*)

В течение верхнего отдела накапливались аллювиальные отложения I—II террас р. Кан.

I терраса сложена галечниками, песками, суглинками. Мощность достигает 4—6 м.

II терраса сложена полимиктовыми мелко- и среднезернистыми песками мощностью от 0,3 до 2,0 м, местами перекрытыми светло-коричневыми слюдистыми суглинками. Средняя мощность террасы не превышает 2,5 м.

III терраса сложена следующими породами:

1. Почвенно-растительный слой. Мощность 0,3 м.
2. Супесь, желто-серая. Мощность 3,5 м.
3. Песок мелко-среднезернистый, желтоватый. Мощность 3,5—4,5 м.
4. Песчано-галечный материал, состоящий из гальки и разнозернистого песка. Окатанность гальки хорошая, петрографический состав разнообразный. Мощность 5,5—6,5 м.

Возраст описанных отложений определяется на основании сопоставления их с отложениями I—III надпойменных террас р. Енисей, которые достоверно датируются по находкам фауны (Феникова, 1957ф). Кроме того, в окрестностях г. Канска, где развиты осадки этих террас, А. С. Хоментовским (1935ф) найдены остатки *Elephas primigenius*, характеризующие верхний отдел. В суглинках IV террасы в различных местах поселка Кан-Перевоз авторами обнаружены четыре зуба шерстистого носорога, жившего в рисс-вюрмское время (по определению профессора кафедры ихтиологии МГУ В. Д. Лебедева).

#### Верхний и современный отделы нерасчлененные (*Q<sub>3+4</sub>*)

Отложения этого возраста объединяют аллювий пойменных и низких надпойменных террас рек Кан, Усолки, Курыша и их притоков. Большинство террас сложено супесями, песчано-глинистым материалом и лишь в разрезе II и III террас р. Курыш наблюдаются неравномернозернистые пески и реже галечники. Мощность этих отложений достигает 5—8 м.

#### ИНТРУЗИВНЫЕ ОБРАЗОВАНИЯ

Интузивные породы пользуются ограниченным площадным распространением. Выходы их на дневную поверхность наблюдаются в пределах юго-восточной окраины Енисейского кряжа, а также к северо-востоку от г. Канска. Представлены они гранитами, габбро-диабазами, диабазами и оливиновыми диабазами.

#### АРХЕЙСКИЕ ИНТРУЗИИ

##### Таракский комплекс — ГА

Породы этого комплекса развиты в пределах юго-восточной окраины Енисейского кряжа, а также погребенного Саяно-Енисейского поднятия, где вскрыты скважинами 3, 5, 11 и 16 (Котикова, 1951ф).

Широким распространением пользуются биотитовые порфировидные граниты серого и розовато-серого, реже мясо-красного цветов, неравномерно-зернистой, чаще грубозернистой структуры с фенокристами ортоклаза до  $3 \times 5$  см в поперечнике. Главными породообразующими минералами являются: ортоклаз, микроклин, альбит, олигоклаз, кварц, биотит. Из акцессорных — присутствуют циркон, сфен, апатит, гранат, магнетит. Характерной особенностью гранитов является резкое преобладание калиевых полевых шпатов над плагиоклазами.

Калиевый полевой шпат представлен крупными зернами микроклина и ортоклаза. Плагиоклаз — альбитом, реже олигоклазом № 27—28 с углом угасания 11—12°, содержание полевых шпатов достигает 60%, кварца 30%. Контактовое воздействие таракских гранитов на вмещающие породы выражается появлением различного рода мигматитов.

К жильным образованиям, связанным с таракскими гранитами, относятся единичные тела пегматитов. Мощность жил до 1,3 м.

Определения абсолютного возраста гранитов Таракского массива, произведенные М. И. Волобуевым (1958ф) свинцовыми методом, дают цифры 1800—2000 млн. лет (по старым константам), что подтверждает их архейский возраст.

#### ПРОТЕРОЗОЙСКИЕ ИНТРУЗИИ

##### Токминский комплекс — $\text{vB}_2\text{Pt}$

Район распространения этих пород ограничивается площадью, занимаемой Таракскими гранитами. Дайки диабазов и габбро-диабазов в рельфе выражены в виде прерывистых гряд с простираем 310—330°, реже 250° и крутым падением (85—87°) на северо-восток. Ширина отдельных выходов 10—15 м и высота до 4 м над окружающей местностью. Контакт между гранитами и диабазами резкий. В некоторых случаях в зальбандах отмечены маломощные (до 5—7 см) каемки сливного кварца, гнезда хлоритизированного биотита.

Диабазы, габбро-диабазы массивные мелкозернистые темно-серого до черного цвета с зеленоватым оттенком. Структура их диабазовая, либо пойкилофитовая. Состоят они из лабрадора № 60, авгита с углом угасания 49° и акцессорных — апатита и магнетита, вторичных — хлорита, соссюрита, серицита. Дайки диабазов прорывают таракские граниты и перекрываются отложениями алешинской свиты, что подтверждает их протерозойский возраст.

#### ФОРМАЦИЯ СИБИРСКИХ ТРАППОВ

##### Пермо-триасовые диабазы — $\mu\beta\text{P} - \text{T}$

Дайки и силлы оливиновых диабазов наблюдаются в ядре Канской антиклинали. Простижение их северо-западное с падением на северо-восток под углом 45—60°. Мощность от 10 до 100 м. Участками диабазы залегают в виде горизонтальных или едва наклонных залежей мощностью 7—8 м, которые являются, по-видимому, остатками силлов. Эти диабазы встречаются и в скважинах 24 и 25 среди песчаников кунгусской свиты, залегающих также в виде силлов, мощность которых достигает 20 м.

Диабазы представлены плотными, массивными черными и зеленовато-черными разностями, мелко- и среднекристаллическими.

Структура диабазовая, реже пойкилофитовая. Сложены они беспорядочно ориентированными лейстами лабрадора № 55, в промежутках которых располагаются ксеноморфные зерна титано-авгита, оливина и магнетита.

Из вторичных изменений наблюдается хлоритизация пироксенов, замещение оливина серпентином, антигоритом, иддингситом, кальцитом, а зерен титано-авгита по периферии — ильменитом.

Контактовый метаморфизм вмещающих пород кунгусской свиты выражается в слабой степени литификации и изменении окраски. Зона метаморфоза не превышает 0,2 м.

Возраст оливиновых диабазов пермо-триасовый.

#### ТЕКТОНИКА

Территория листа непосредственно расположена в области сочленения юго-западной окраины Сибирской платформы со складчатой областью Енисейского кряжа. Енисейский кряж представляет собой область докембрийской складчатости, входящий в систему байкалид. Эта область обрамляет Сибирскую платформу с юго-запада. В строении байкалид Енисейского кряжа принимают участие мощные толщи дислокированных архейских и протерозойско-синийских образований геосинклинального типа, прорванных интрузиями различного состава и возраста.

Сибирская платформа, по современным взглядам, представляет крупную докембрийскую тектоническую структуру со сложным многоярусным осадочным чехлом, покоящимся на складчатом докембрийском основании (Спижарский, 1958).

В зоне их непосредственного сопряжения развит Преденисейский краевой прогиб (Благодатский, 1961ф), представляющий собой крупную линейно-вытянутую структуру, выполненную молассовой и соленосной формациями позднего докембра и нижнего кембра. Образование этого прогиба связано с развитием складчатого сооружения Енисейского кряжа<sup>1</sup> в конечные этапы байкальской складчатости.

В конце нижнего палеозоя в связи с поднятием горных сооружений Енисейского кряжа и Восточного Саяна краевой прогиб перерастает в предгорный прогиб.

В девонское и нижнекарбоновое время на структуры байкалид и краевого прогиба накладываются молассовые и красноцветные формации предгорного прогиба Рыбинской впадины, а также верхнепалеозойского Тасеевского унаследованного прогиба.

Структурно-фаунистический комплекс мезозойской Канско-Тасеевской наложенной впадины имеет наибольшее площадное распространение и перекрывает все ранее сформировавшиеся структуры.

В пределах площади листа выделяется ряд крупных структурно-тектонических единиц: Байкалиды Енисейского кряжа, Преденисейский краевой прогиб, Сибирская платформа. Они в свою очередь подразделяются на структуры второго порядка (рис. 1).

#### СТРУКТУРЫ БАЙКАЛИД ЕНИСЕЙСКОГО КРЯЖА

Байкальская складчатая система, обрамляющая Сибирскую платформу с юго-запада, закончила свое геосинклинальное развитие в синине, к началу кембра. В структурном отношении она представляет собой крупный антиклиниорий, сложенный образованиями архея, протерозоя и синия и осложненный разрывными нарушениями, прорванными интрузиями различного состава и возраста. В литературе он известен под названием Ангаро-Канского антиклиниория (Кириченко, 1958 г.).

В пределах площади листа в Байкальской складчатой системе выделяются две крупные структуры: Ангаро-Канский антиклиниорий Енисейского кряжа и погребенное Саяно-Енисейское поднятие.

##### Ангаро-Канский антиклиниорий

В пределах территории листа находится незначительная юго-восточная часть Ангаро-Канского антиклиниория, сложенного глубоко метаморфизованными толщами архея и протерозоя. Строение этой части антиклиниория в настоящее время является недостаточно выясненным. По мнению Г. И. Кириченко (1958 г.),

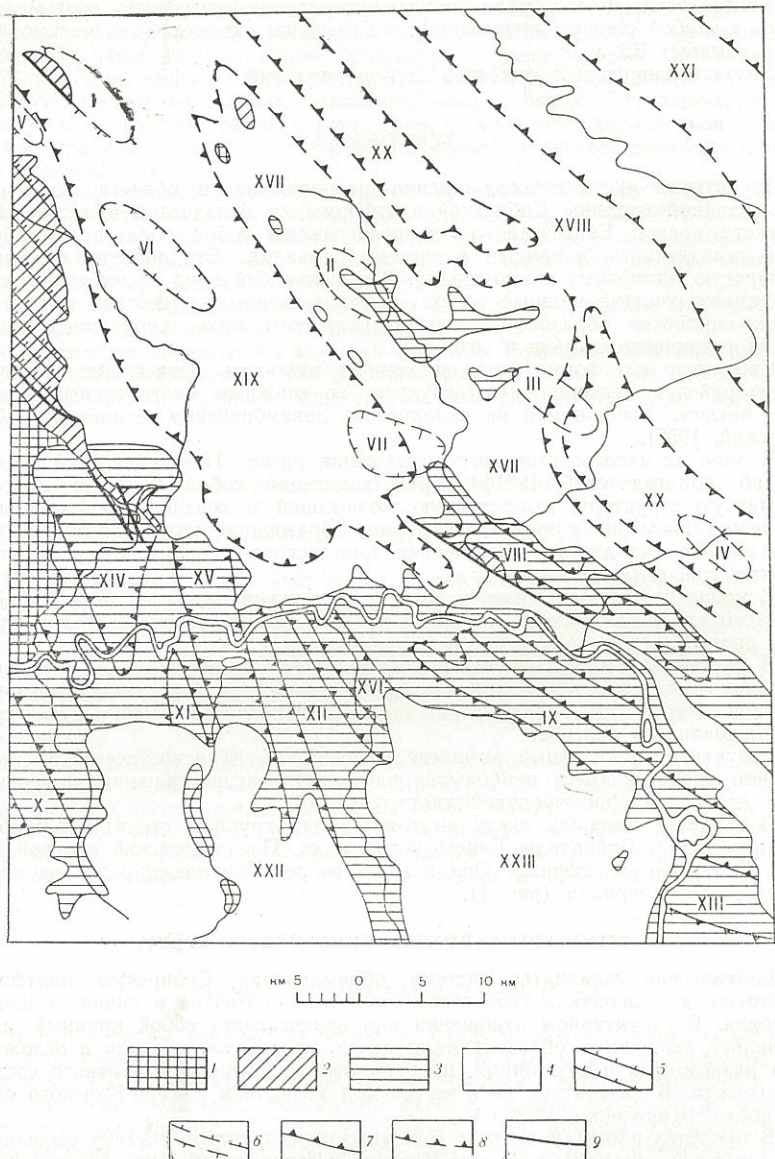


Рис. 1. Тектоническая схема

Структуры Байкальской складчатой системы: 1 — архейско-синий структурно-фациональный комплекс. Структуры Преденисейского краевого прогиба: 2 — нижнекембрийский структурно-фациональный комплекс: I — Чурюковская погребенная антиклиналь, II — Моховская погребенная антиклиналь, III — Безуранская погребенная антиклиналь, IV — Далайская погребенная антиклиналь, V — Букарская погребенная синклиналь, VI — Ивантайская погребенная синклиналь, VII — Сотниковская погребенная синклиналь. Структуры Сибирской платформы: 3 — структурно-фациональный комплекс средне-палеозойского Рыбинского предгорного и верхнепалеозойского Тасеевского

он представляет собой наиболее древнее образование в пределах байкалид (архейскую глыбу). Начиная с докембрийского по верхнедевонское время, юго-восточная часть Енисейского кряжа представляла собой приподнятый массив, который являлся областью размыва в палеозойское время.

Магнитное и гравитационное поля юго-восточной части кряжа ничем не отличаются от одноименных полей юго-западной периферии Сибирской платформы и в то же время отличаются от полей более северных частей кряжа. Так, юго-восточная часть кряжа имеет спокойное магнитное поле ( $\Delta T_a = 0-100 \gamma$ ) и отрицательные значения аномалий силы тяжести (40–60 мгл), а более северные его районы характеризуются резко выраженными положительными и отрицательными магнитными аномалиями, а также положительными значениями аномалий силы тяжести (рисунки 2, 3).

#### Саяно-Енисейское погребенное поднятие

Саяно-Енисейское погребенное поднятие байкалид расположено на продолжении Енисейского кряжа в сторону Восточного Саяна. Идея о наличии в этом районе подобной структуры впервые была выдвинута А. Архангельским (1949 г.). Впоследствии, комплекс геофизических и буровых работ подтвердил наличие поднятия и позволил выделить его в самостоятельную единицу. Бурением (Котикова, 1951) под относительно маломощным (от 111 до 350 м) плащем палеозойских отложений вскрыты архейские и синийские сложно дислоцированные образования.

Поднятие в пределах площади имеет северо-западное, близкое к широтному простирание; северо-восточная граница его проходит в районе деревень Белоярское, Анцирь, г. Канска, положение юго-западной границы достоверно не установлено. По данным геофизических работ (Поспев, 1957), ее условно проводят по линии ст. Солянка — с. Ивановка. В целом погребенное поднятие характеризуется спокойным или слабо варьирующим магнитным полем со значениями  $\Delta T_a = 100-200 \gamma$  и несколько повышенными по сравнению с прилегающими участками Канско-Тасеевской впадины значениями аномалий силы тяжести до -20 мгл (рис. 3). Вдоль северо-восточной границы поднятия намечается полоса относительно повышенных значений силы тяжести, а вдоль юго-западной — резко повышенных ее аномалий, а также линейновытянутых магнитных аномалий значительной интенсивности (см. рис. 2). Такое явление может быть объяснено наличием дизъюнктивных нарушений в докембрийском фундаменте. Особенно крупным, по-видимому, является разлом по юго-западной границе поднятия, ширина которого достигает 10–15 км.

Вовлечение погребенного Саяно-Енисейского поднятия в область осадконакопления произошло в девонское время и тесным образом связано с формированием наложенной Рыбинской впадины.

#### СТРУКТУРЫ ПРЕДЕНИСЕЙСКОГО КРАЕВОГО ПРОГИБА

Заложение Преденисейского краевого прогиба относится к позднесинийскому времени и тесно связано с развитием байкалид Енисейского кряжа. В юго-западной части прогиба его формации накладываются на архейскую глыбу Южно-Енисейского кряжа, а в восточной части — возможно, на платформенное основание.

унаследованного прогибов: VIII — Канская антиклиналь, IX — Анцирско-Белоярская антиклиналь, X — Ивановская антиклиналь, XI — Петрушинская антиклиналь, XII — Мало-Урinskaya антиклиналь, XIII — Бражненская синклиналь, XIV — Таранчетская синклиналь, XV — Харловская синклиналь, XVI — Филимоновская синклиналь; 4 — структурно-фациональный комплекс мезозойской Канско-Тасеевской впадины; XVII — Новосмоленско-Вознесенская антиклиналь, XVIII — Таганская антиклиналь, XIX — Фомкинская синклиналь, XX — Далайская синклиналь, XXI — Абанская синклиналь, XXII — Карайбульская мульда, XXIII — Ново-Троицкая мульда; 5 — структурные линии в нижнекембрийском структурно-фациональном комплексе; 6 — погребенные нижнекембрийские структуры; 7 — структурные линии в средне-верхнепалеозойском структурно-фациональном комплексе; 8 — структурные линии в мезозойском структурно-фациональном комплексе; 9 — тектонические нарушения

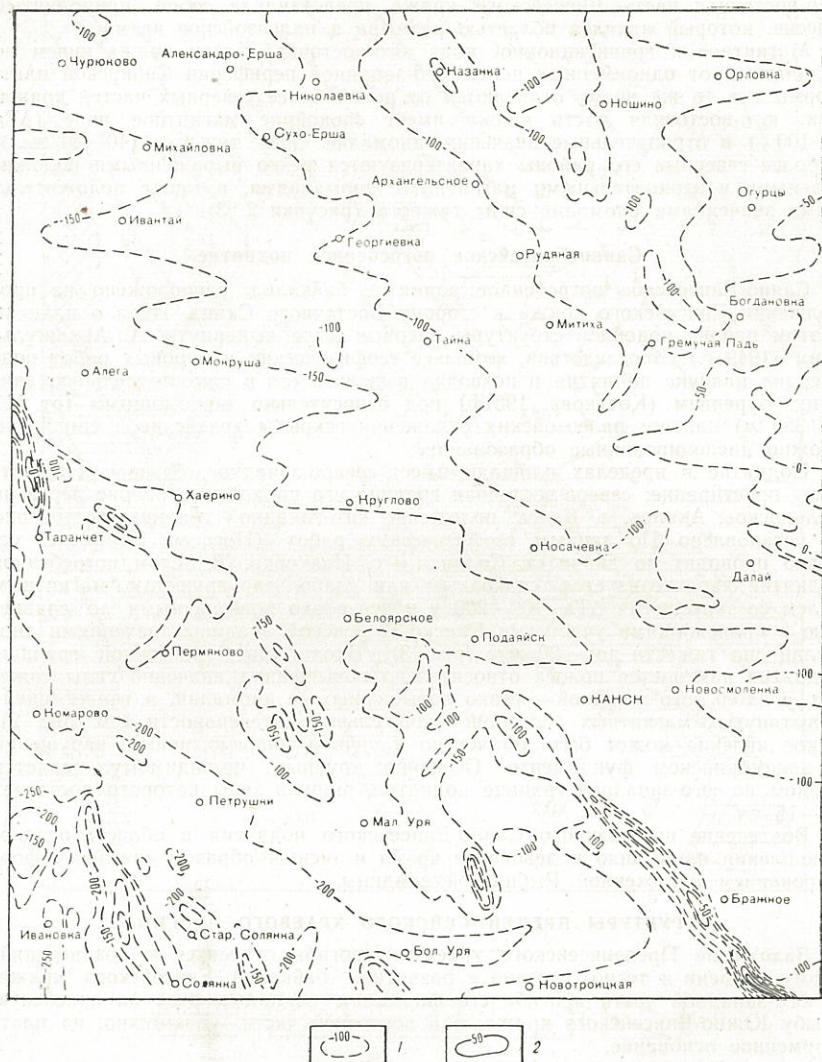
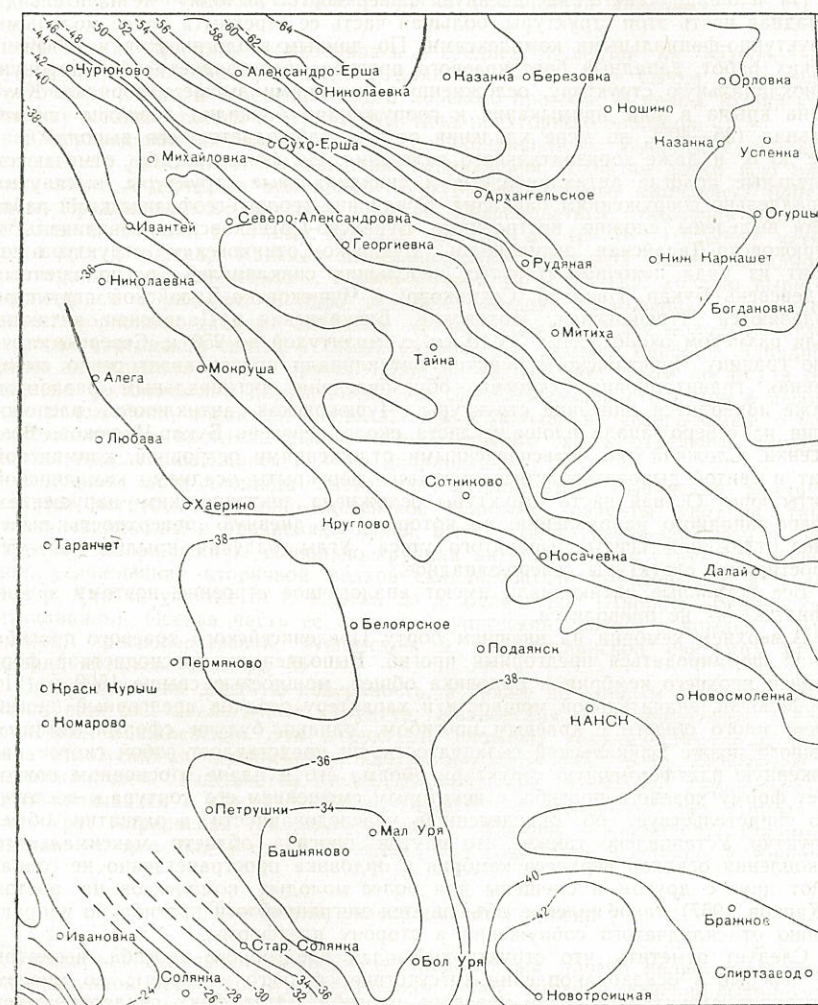


Рис. 2. Карта изолиний магнитного поля  $\Delta$  Та масштаба 1 : 500 000  
(сечение изолиний через 50  $\gamma$ )

1 — отрицательные аномалии; 2 — положительные аномалии



Соотношение прогиба со складчатыми структурами байкалид не выяснено. Особенности краевого прогиба хорошо подчеркивают основные черты этого типа структур: значительная их вытянутость при небольшой ширине, большая мощность отложений (синий — нижний кембрий) (до 6000 м), широкое развитие молласовой и соленосной формации, асимметричное строение с более крутым бортом, прилежащем к складчатым областям.

На площади листа на дневную поверхность выходит незначительная западная часть этой структуры, большая часть ее перекрыта более молодыми структурно-фациальными комплексами. По данным геологических и геофизических работ, западный борт краевого прогиба представляет собой крупную моноклинальную структуру, осложненную складками высшего порядка. Крутизна крыла в зоне примыкания к сооружениям байкалид довольно значительная ( $35-40^\circ$ ), по мере удаления от них наблюдается его выполяживание до  $8^\circ$  и даже горизонтального залегания. На фоне прогиба отмечаются отдельные пологие антиклинальные и синклинальные структуры, вытянутые параллельно сооружениям байкалид. Среди них геолого-геофизическими работами выделены сложно построенные Букарско-Сотниковская синклиналь и Чурюковско-Далайская антиклиналь. Букарско-Сотниковская структура состоит из ряда цепочно-вытянутых небольших синклиналей, расположенных у деревень Букар, Ивантай, Сотниково; в Чурюковско-Далайской структуре выделяются Чурюковская, Моховская, Бизуранская и Далайская антиклинали размежеваны около  $3 \times 6$  и  $3 \times 10$  км, с амплитудой до 250 м. Северо-восточную границу Чурюковско-Далайской антиклинали подчеркивает резко выраженная гравитационная ступень, обусловленная региональным разломом. Ниже приводится описание структуры. Чурюковская антиклиналь расположена на северо-западе площади листа около деревень Букар-Чурюково-Вознесенка. Сложена она нерасчлененными отложениями остроговской, климинской свит и свитой дыроватого утеса, а крылья перекрыты осадками камалинской свиты юры. Осевая часть структуры осложнена тектоническим нарушением северо-западного направления, по которому на дневную поверхность выведены отложения свиты дыроватого утеса. Углы падения крыльев  $40-45^\circ$ . Простирание структуры северо-западное.

Все остальные антиклинали имеют аналогичное строение, поэтому характеристика их не приводится.

В верхнем кембре на внешнем борту Преденисейского краевого прогиба начал формироваться предгорный прогиб. Выполнен он красноцветной формацией верхнего кембра и ордовика общей мощностью выше 1500 м. По морфологии, значительной мощности и характеру осадков предгорный прогиб имеет много общего с краевым прогибом, однако будучи сформированным намного позже Байкальской складчатости, он представляет собой скорее наложенную платформенную структуру. Форма его в плане в основном повторяет форму краевого прогиба, с некоторым смещением его контура к востоку, что свидетельствует об определенной унаследованности в развитии обеих структур. Установлено также, что внутри прогиба области максимального накопления осадков верхнего кембра и ордовика пространственно не совпадают друг с другом и смещены для более молодых комплексов на восток (Жарков, 1957); такое явление объясняется миграцией оси прогиба по направлению от складчатого сооружения в сторону платформы.

Следует отметить, что структурный план предгорного прогиба, несмотря на перерыв в осадконакоплении (отсутствие среднего кембра), во многом повторяет структурный план краевого прогиба. Этот факт свидетельствует о том, что блоковые движения фундамента участвовали в создании отдельных структур предгорного прогиба, имея одинаковую направленность на протяжении длительного времени.

#### СТРУКТУРЫ СИБИРСКОЙ ПЛАТФОРМЫ

Сибирская платформа представляет собой крупную тектоническую структуру с многоярусным осадочным чехлом.

В юго-западной части Сибирской платформы развито несколько самостоятельных структур, отличающихся друг от друга временем, условиями образо-

вания, а также характером слагающих их отложений. В качестве таких структур необходимо указать среднепалеозойский Рыбинский предгорный прогиб; верхнепалеозойский Тасеевский унаследованный прогиб и Канско-Тасеевскую наложенную впадину.

#### Рыбинский предгорный прогиб (Рыбинская впадина)

Рыбинская впадина образовалась в среднем палеозое на разнородном фундаменте байкалид Енисейского кряжа и Восточного Саяна, каледонид Восточного Саяна и Преденисейского краевого прогиба. В целом Рыбинскую впадину можно отнести к структурам типа предгорных прогиб.

В верхнедевонское время область осадконакопления Рыбинской впадины значительно расширилась в северном направлении, охватив почти всю площадь листа и перекрыв при этом структурно-фациальные комплексы байкалид и Преденисейского краевого прогиба. Красноцветные отложения впадины собраны в складки с углами падения крыльев до  $10-15^\circ$ . Наиболее четко среди них выражена Канская антиклинальная структура северо-западного простирания, расположенная к северо-востоку от г. Канска, хорошо вырисовывающаяся в рельефе. В ядре складки выходят отложения кунгусской свиты, прорванные дайками диабазов; крылья сложены более молодыми отложениями чаргинской свиты, а также различными свитами карбона. Западное крыло антиклинали более крутое (породы падают под углом до  $40^\circ$ ) и осложнено тектоническим нарушением. Эта антиклинальная структура в девонских отложениях, очевидно, продолжается и дальше на северо-запад, о чем свидетельствуют проглядывающие из-под юрского чехла отдельные выходы девона, прослеживающиеся в этом направлении.

В южной части площади листа, где фундаментом Рыбинской впадины является погребенное Саяно-Енисейское поднятие, развиты складки типа брахиантеклиналей и брахисинклиналей, вытянутые в северо-западном и субширотном направлениях. Довольно крупная антиклинальная структура такого типа, усложненная вторичной мелкой складчатостью, вырисовывается в долине р. Кан на участке от г. Канска до д. Белоярское (Анцирско-Белоярская антиклиналь). Осевая часть ее сложена кунгусской свитой, а крылья — чаргинской, красногорьевской, тушамской и листвянинской свитами. Углы падения крыльев от 10 до  $18^\circ$ .

По выходам на дневную поверхность, а также по данным бурения выделяется еще ряд аналогичных структур: Ивановская, Петрушинская, Мало-Уринская, Бражненская. Эти структуры сложены сохранившимися от размытия отложениями чаргинской и красногорьевской свит, реже тушамской и листвянинской. Выделяются также синклинальные структуры: Таранчестская, протягивающаяся к югу от устья р. Таранчет по водораделу рек Тырбыль и Мал. Уря; Харловская (по линии деревень Харлово — Карайбул); Филимоновская — к юго-западу от ст. Филимоново с поворотом в сторону с. Чичеул.

#### Тасеевский унаследованный прогиб

Тасеевский верхнепалеозойский унаследованный прогиб является частью более крупной депрессии и представляет собой впадину линейно-вытянутую вдоль Енисейского кряжа и выполненную формациями карбона. В южном направлении мощность отложений карбона резко уменьшается; в пределах площади листа она составляет 20—30 м, редко 100 м. Отложения Тасеевского прогиба накладываются на структурно-фациальный комплекс Рыбинского предгорного прогиба и повторяют его структурный план. Породы, слагающие прогиб, собраны в пологие складки с углами падения от 10 до  $22^\circ$ . Ввиду малой мощности верхнепалеозойских отложений и совпадения их структур со среднепалеозойскими, их структурно-фациальный комплекс отдельно на тектонической схеме не показан и объединен с комплексом Рыбинской впадины. Возможно, эту структуру не следует выделять как самостоятельную.

## Канско-Тасеевская наложенная впадина

Мезозойская Канско-Тасеевская впадина представляет собой обширную отрицательную структуру наложенного типа, ограниченную на северо-востоке Чуно-Бирюсинским поднятием, а на юге распространившуюся на значительную часть Рыбинского предгорного прогиба. Структурно-фациальный комплекс ее представлен преимущественно угленосными формациями. Области максимального накопления в мезозое располагались в центральных частях Рыбинской впадины, а также в районе с. Абан, за пределами площади листа. Погребенное Саяно-Енисейское поднятие, очевидно, испытавшее в мезозойские времена восходящее движение, служило своего рода барьером между ними. Мезозойские структуры, расположенные к югу от р. Кан, представляют собой северный борт пологой чашеобразной мульды, открывающейся к югу и юго-западу. К северу от р. Кан наблюдается некоторая унаследованность плана мезозойских структур от среднепалеозойских. Так, вдоль палеозойской Канской антиклинали и ее погруженного продолжения на северо-западе, отмечается мезозойская антиклинальная структура (Новосмоленско-Вознесенская), в ядре которой выходят нижняя подсвита камалинской свиты. По обе стороны от нее расположены узкие синклинали, выполненные отложениями верхней подсвиты камалинской свиты. Ось одной из них — Фомкинской — вытянута по линии деревень Михайловка, Фомка, Красное Озерко; другой — Далайской — проходит через деревни Гладкая Горка, Игорань, Далай. Северо-восточнее Далайской синклинали намечается вытянутое в северо-западном направлении Тагашинское антиклинальное поднятие с ундулирующей осью. В строении его принимают участие отложения камалинской свиты.

К северо-востоку Тагашинское поднятие переходит в Абакансскую синклиналь, в строении которой принимают участие отложения переясловской, камалинской и бородинской свит юры. Углы падения крыльев складок колеблются в пределах от 5 до 12°; на значительной площади отложения юры залегают практически горизонтально.

К югу от р. Кан выделяются мезозойские мульды: Карабульская и Ново-Троицкая, выполненные в основном отложениями нижней подсвиты камалинской свиты.

По геофизическим данным западная часть Канско-Тасеевской впадины характеризуется чрезвычайно спокойным магнитным полем (+0—100γ) и отрицательными значениями гравитационного поля (от —40 до —50 мгл). На участке, где под платформенным чехлом располагается нижнепалеозойская Чурюковско-Далайская антиклиналь, отмечается линейный локальный максимум силы тяжести (рис. 3).

## ДИЗЮНКТИВНЫЕ НАРУШЕНИЯ

Основная часть крупных нарушений связана в байкальской складчатостью и затрагивает лишь породы докембрия. Нарушения такого типа перекрыты более молодыми отложениями и фиксируются с помощью комплексных геофизических работ. Зоны крупных региональных разломов отмечаются вдоль юго-западной и северо-восточной границ Саяно-Енисейского погребенного поднятия, а также в центральных частях Преденисейского краевого прогиба.

В последующие геологические эпохи по зонам разломов продолжаются тектонические подвижки значительно меньшей интенсивности. Наиболее крупное тектоническое нарушение установлено в процессе бурения в 14 км к северо-западу от г. Канска. Наружение имеет характер взбросо-надвига, по которому юго-западное крыло Канской антиклинали приподнято по отношению к северо-восточному. В скв. 2 (Стрижев, 1940ф) средняя часть алевинской свиты по тектоническому нарушению контактирует с верхними частями отложений мошаковской свиты. Учитывая мощность толщи, выпавшей из разреза, амплитуда вертикальных движений составит около 3000 м. По одному из второстепенных разломов, сопровождающему это крупное разрывное нарушение в общих чертах параллельному ему, в послекарбоновое время опущенное крыло было вновь приподнято. По плоскости сбрасывателя, наклоненной

на северо-восток, отложения синия — нижнего кембрия выведены на дневную поверхность и надвинуты на породы девона. Вертикальная амплитуда надвига равняется примерно мощности девонских отложений и составляет около 300 м.

В северо-западном направлении, как бы на продолжении описанного нарушения, в девонских и юрских отложениях наблюдаются следы тектонических подвижек, проявляющиеся в наличии зон брекчирования и зеркал скольжения. Здесь же у д. Букар отмечается тектоническое нарушение северо-западного направления, по которому в приподнятом северо-восточном блоке на дневную поверхность выведены кембрийские отложения свиты дыроватого утеса, которые на окружающей площади перекрыты юрскими осадками.

Западнее д. Любава намечается тектонический контакт между алевинской и чистяковской свитами. В этом районе алевинская свита представлена исключительно своей нижней частью (мощность до 200—500 м), а южнее, в районе «Галочных грив», наблюдается полный разрез свиты. Северо-восточное крыло сброса является опущенным относительно юго-западного.

Два небольших нарушения северо-западного простирания известны юго-западнее д. Хаерино. По одному из них комплекс древних докембрийских образований и породы алевинской свиты выведены на дневную поверхность среди поля девонских отложений. На продолжении этого нарушения к юго-востоку установлен небольшой выход пород алевинской свиты среди девона. Другое нарушение, в долине р. Курыш, также затрагивает этот же комплекс пород (докембрий и алевинскую свиту). Северо-восточное крыло является поднятым относительно юго-западного.

## ГЕОЛОГИЧЕСКОЕ ИСТОЛКОВАНИЕ ГЕОФИЗИЧЕСКИХ ДАННЫХ

Основные геофизические материалы представлены картой изолиний магнитного поля  $\Delta T_a$ , составленной по работам Иркутской аэромагнитной партии (Щупак, 1956ф), и картой изоаномалий  $a_g$  в редукции Буге масштаба 1:500 000 из отчета В. Н. Троицкого (1952ф). Анализ гравиметрических и магнитных данных позволяет сделать следующие заключения:

1. На крайней юго-западной части площади листа локальной аномалией интенсивностью до —20 мгл четко фиксируется поднятие, соответствующее на тектонической схеме Ивановской антиклинали. Эта же структура отмечается на магнитном плане отрицательной аномалией с интенсивностью до 250 гамм.

2. Далее на северо-восток аномалией интенсивностью до —34 мгл подчеркивается Петрушинская антиклиналь и рядом с ней — аномалией интенсивностью до —38 мгл — Мало-Уринская антиклиналь. На магнитной карте этим структурам соответствует группа мелких отрицательных аномалий интенсивностью до 150 гамм.

3. Структурные элементы Канско-Тасеевской впадины характеризуются региональной локальной аномалией, вытянутой в северо-западном направлении, причем антиклиналям соответствуют повышенные значения  $\Delta a_g$ , а синклиналям — пониженные (до —64 мгл). На магнитном плане отдельные структуры Канско-Тасеевской впадины выделить практически невозможно.

4. Структурные элементы Рыбинской впадины на гравиметрической карте почти не выделяются, однако этот пробел восполняется аэромагнитными данными. Так, Анцирско-Беляевская антиклиналь очень четко подчеркивается локальной магнитной аномалией (до +50 гамм), вытянутой в северо-западном направлении. Довольно четко выделяется положительными магнитными аномалиями восточная часть предгорного прогиба.

Все вышеперечисленные локальные аномалии несомненно обусловлены структурами погребенными, так как широко распространенные на территории листа О-46-XXXVI и перекрывающие их большей частью юрские отложения характеризуются весьма спокойным выдержаным отрицательным магнитным полем, не превышающим по интенсивности 100 гамм. Более неравномерным отрицательным полем характеризуются породы девона. Таким образом, сопоставление гравиметрических и магнитных данных дает более ясное представление о тектоническом строении района.

С целью выяснения глубины залегания погребенных структур А. И. Нестренко проведена интерпретация магнитных аномалий. Были интерпретированы аномалии, соответствующие Ивановской антиклинали и Анцирско-Белоярской антиклинали. Определение глубины произведено способом касательных, методом площадей Д. С. Микова, методом К. П. Соколова и методом Т. Н. Симоненко.

В табл. 1 даны значения глубин  $h$  до погребенных структур по всем перечисленным методам.

Таблица 1

№ п/п	Название аномалий (антиклиналей)	Значения $h$ , км				
		Метод ка- сательных	Метод Д. С. Микова	Метод К. П. Соколова	Метод Т. Н. Симоненко	Среднее значение
1	Ивановская	4,6	4,2	5,1	4,8	4,7
2	Анцирско-Белоярская	4,2	4,8	5,3	5,7	5
3	Петрушкинская *	14,5	14,9	10,0	13,0	13,1

\* По Петрушкинской аномалии оказалось возможным определение глубины до фундамента лишь в центре структуры.

В других точках определение глубин не производилось, так как магнитные поля здесь очень слабо выражены и интерпретация их затруднена.

## ГЕОМОРФОЛОГИЯ

Формирование основных типов рельефа листа обусловлено его расположением в области сочленения юго-западной окраины Сибирской платформы со складчатой областью байкалид Енисейского кряжа. Наблюдаемые типы рельефа находятся в тесной зависимости от геологического и тектонического строения района и совпадают с распространением определенных структурно-фаунистических комплексов.

По генетическим признакам на площасти листа выделяются следующие категории рельефа (рис. 4, табл. 2): эрозионно-денудационный, структурно-денудационный и эрозионно-аккумулятивный.

### ЭРОЗИОННО-ДЕНУДАЦИОННЫЙ РЕЛЬЕФ

В области развития данной категории рельефа выделяются два морфологических типа рельефа: низкогорный равнинно-увалистый рельеф и плосковолнистая равнина.

Низкогорный равнинно-увалистый рельеф. Данный тип рельефа характерен для юго-восточной окраины Енисейского кряжа и наблюдается в пределах развития архейского интрузивного комплекса. Абсолютные отметки здесь колеблются в пределах от 200 до 400 м, возвышенности имеют плоские вершины и пологие склоны, перекрыты четвертичными отложениями. Речная сеть развита хорошо и представлена реками Курыш и Таррака. Входя в пределы данного рельефа, р. Курыш меняет равнинный характер асимметричной корытообразной долины на V-образную с обрывистыми бортами высотой до 50—80 м и становится бурной, порожистой.

Плоско-волнистая равнина. Этот тип рельефа имеет место на площасти развития слабо сцементированных угленосных юрских отложений и представляет собой плоско-волнистую равнину, которая сравнительно густо представлена речными долинами и логовыми расчлененена на широкие водораздельные простран-

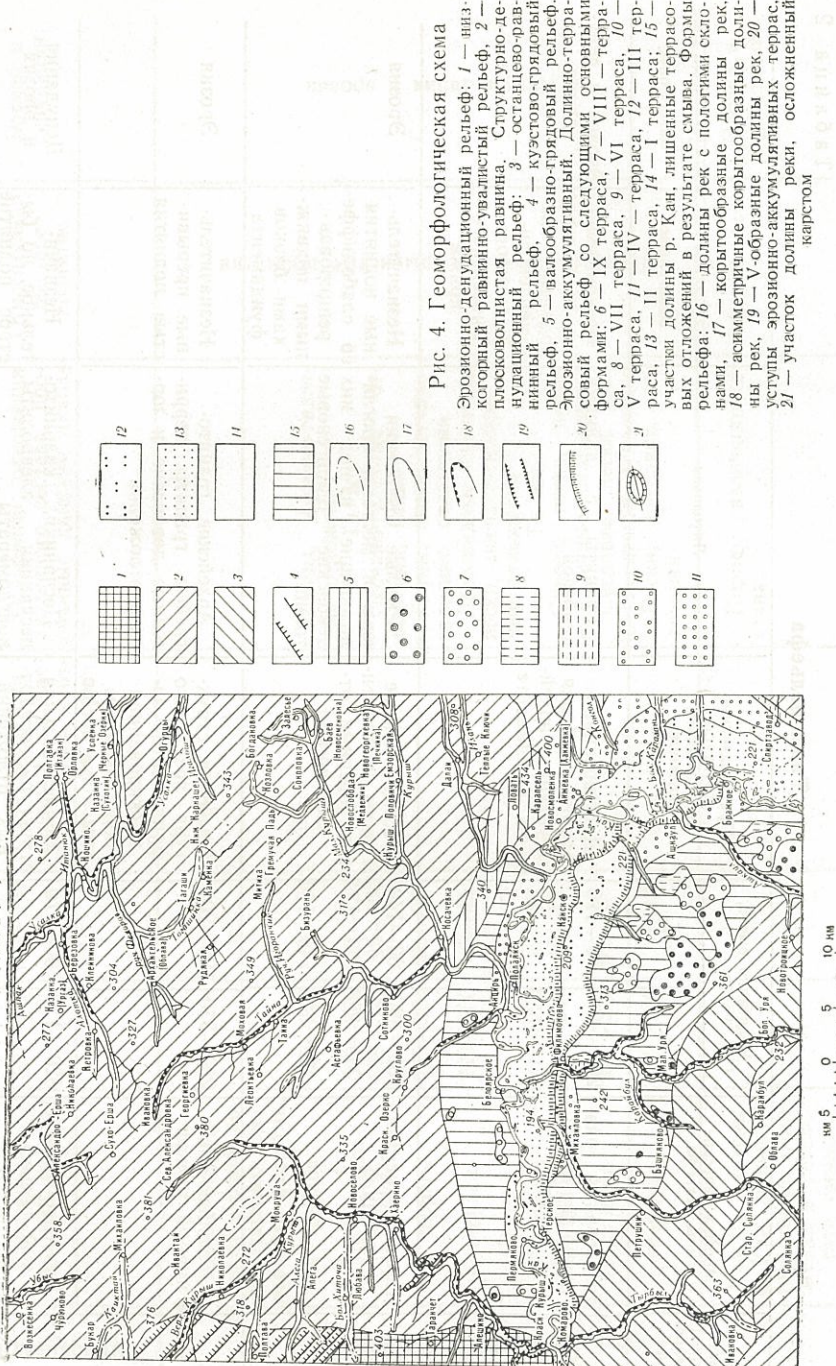


Рис. 4. Геоморфологическая схема  
Эрозионно-денудационный рельеф: 1 — ниж.-  
плоскогорный равнинно-увалистый рельеф, 2 —  
нидунаклонный рельеф, 3 — останцеово-рав-  
нинный рельеф, 4 — кuestово-фраиль-  
ний рельеф, 5 — валообразно-триядовый-  
рельеф, 6 — денудационно-аккумулятивный. Долинно-терра-  
совый рельеф со следующими основными  
формами: 7 — IX терраса, 7 — VIII — терра-  
са, 8 — VII терраса, 9 — VI терраса, 10 —  
V терраса, 11 — IV — терраса, 12 — III тер-  
раса, 13 — II — терраса, 14 — I — терраса; 15 —  
участки долины р. Кан, лишенные геррасо-  
вых отложений; 16 — долины рек с пологими скло-  
нами, 17 — корытообразные долины рек,  
18 — асимметричные корытообразные доли-  
ны рек, 19 — V-образные корытообразные доли-  
ны рек, 20 — уступы эрозионно-аккумулятивных террас,  
21 — участок долины реки, осложненный  
карстом

Таблица 2

## Типы рельефа

Генетические типы рельефа	Морфологические типы рельефа	Колебания высот, м		Преобладающие структуры геологических формаций	Литология	Факторы рельефообразования	
		Абс.	Отн.			Эндогенные	Экзогенные
Низкогорный равнинно-увалистый рельеф	200—400	50—120	Дифференцированная глыбовая структура в архейском фундаменте	Граниты с дайками диабазов	Незначительное, но быстрое поднятие сплошнозиравленного Енисейского кряжа	Эрозия и денудация	
Плосковолнистая равнина	280—380	60—140	Весьма пологие мульды, выполненные юрскими отложениями	Рыхлые отложения юры и местами прорывающиеся из-под девонских терригенных отложений	Незначительные поднятия со слабодифференцированными подвижками блоков фундамента	Эрозия	
Останцево-равнинный рельеф	200—370	120—200	Глыбовая структура архейского фундамента, замаскированная пологоскладчатым Р22-3 и Мелевским	Архейские гранитогнейсы, граниты, терригенные девонские и юрские отложения	Незначительные прерывистые поднятия	Эрозия	
Куэстово-грядовый рельеф	320—480	60—170	Моноклинальная структура осадочных отложений нижнего палеозоя	Песчаники, кварцито-песчаники, алевролиты, конгломераты	Незначительное, но быстрое поднятие	Денудация и эрозия	

Стилифицирующие факторы	Валообразно-грядовый рельеф	240—470		100—230		Антклинальная структура сложного строения в отложениях среднего палеозоя	Осадочные отложения различного состава, прорванные дайками диабаза	Относительно быстрое поднятие	Эрозия и денудация
		IX терраса	VIII терраса	VII терраса	VI терраса	V терраса			
Долинно-террасовый рельеф со следующими основными формами:									
IХ терраса	335—350	140—150							
VIII терраса	300—350	120—125							
VII терраса	300—325	95—100							
VI терраса	245—260	60—65							
V терраса	220—250	40—45							
IV терраса	215—220	17—20							
III терраса	200—220	10—12							
II терраса	180—215	3,5—6							
I терраса	190—210	1,5—2,5							
Участки долины р. Кан, лишенные террасовых отложений в результате смыва									
		240—250							

Аккремационные отложения

Несимметрические отложения

Эрозия и денудация

Породы различного состава

ства с абсолютными отметками 280—360 м. Долины рек и логов обычно имеют асимметричные поперечные профили с более крутыми восточными и северными склонами и пологими — западными и южными. Глубина вреза логов и долин не превышает 20—30 м. Речная сеть развита слабо и представлена реками Курыш, Тайна, Усолка. Течение рек медленное и в долинах рек наблюдается обычно боковой размыв, при очень слабой аккумуляции осадков.

#### СТРУКТУРНО-ДЕНУДАЦИОННЫЙ РЕЛЬЕФ

Этот генетический тип рельефа развит в различных частях площади листа, сложенных палеозойскими отложениями и включают в себя три морфологических типа рельефа: Останцево-равнинный рельеф, Кузстово-грядовой рельеф и Валообразно-грядовой рельеф.

**Останцево-равнинный рельеф.** Данный тип рельефа пользуется распространением в юго-западной части описываемой территории. Характерной чертой его является интенсивное расчленение местности параллельными речными долинами с сильно развитой сетью больших и малых боковых логов. Реки здесь имеют меридиональное направление и являются левыми притоками р. Кан (реки Тырбыл, Мал. и Больш. Уря). Долины их асимметричные с крутymi правыми бортами до 40—50°. Левые склоны долин обычно пологие и перекрыты мощным чехлом рыхлых отложений.

Сохранившиеся от денудации участки водоразделов имеют вид небольших вытянутых в меридиональном направлении «останцев» с ровной слегка волнистой поверхностью. Абсолютные отметки водоразделов колеблются в пределах 340—380 м над уровнем моря.

**Кузстово-грядовой рельеф.** Этот тип рельефа пользуется неизменительным распространением и наблюдается в предгорьях Енисейского кряжа на площади развития моноклинально залегающих отложений синия — нижнего кембия, в составе которых чередуются пласти различной податливости.

Основные формы рельефа представлены узкими прерывистыми грядами и кустами северо-западного направления. Абсолютные отметки здесь достигают 460 м, понижаясь в сторону равнины до 320 м. Речная сеть имеет преимущественно широтное направление и развита очень слабо. Долины рек часто заболочены. Водораздельные пространства широкие и слабо волнистые.

**Валообразно-грядовой рельеф.** Этот тип рельефа наблюдается к северо-востоку от г. Канска в виде четко выраженного вала северо-западного направления, рассеченного долинами рек Илань, Моховая и др.

Вал имеет сравнительно крутой юго-западный и пологий северо-западный склоны. Отдельные абсолютные отметки в его пределах достигают максимальных для данного района величин (468 м).

Образование данного типа рельефа обусловлено тектоническим выделением на дневную поверхность в послерюское время палеозойской антиклинальной структуры и последующим воздействием денудационных процессов.

#### ЭРОЗИОННО-АККУМУЛЯТИВНЫЙ РЕЛЬЕФ

В области развития этого рельефа выделяется один морфологический тип — долинно-террасовый рельеф.

**Долинно-террасовый рельеф.** Этот рельеф распространен в долине р. Кан, имеющей ширину около 20 км с многочисленными террасами, расположенным на разных уровнях. Долина р. Кан имеет асимметричный корытообразный поперечный профиль со ступенчатыми, иногда слаженными склонами. В долине насчитывается девять аккумулятивных террас.

Наиболее древние IX, VIII, VII, VI террасы пользуются сравнительно небольшим распространением. Благодаря активной эрозионной деятельности боковых притоков, эти террасы сохранились лишь обрывками и в рельефе выражены слабо. Строение этих террас сравнительно однородное: на наклонном, в сторону р. Кан, коренном ложе залегает песчано-галечный горизонт, перекрытый плотной глиной.

V и IV террасы в рельефе выражены более четко и наблюдаются в виде прерывных полос шириной 1—2 км. Наибольшим распространением пользуются III, II и I террасы, из которых две последних относятся к категории наложенных. Их характерной особенностью является наличие единого для всех террас общего песчано-галечного горизонта. Строение террас долины р. Кан свидетельствует о неоднократных поднятиях местности. Во время формирования I и II террас, по-видимому, имело место повышение местного базиса эрозии, вызванное поднятием Енисейского кряжа. Судя по тому, что на всем протяжении долина р. Кан сечет под углом основные геологические структуры, следует отнести ее к типу диагональных.

В заключение следует сказать, что ведущими экзогенными процессами рельефообразования, обусловившими все разнообразие форм современного рельефа, явились эрозия и денудация, действующие в условиях вертикальных движений и носившие дифференцированный характер.

#### ПОЛЕЗНЫЕ ИСКОПАЕМЫЕ

Территория листа сложена преимущественно осадочными породами; полезные ископаемые генетически связаны с ними и относятся к группе нерудных.

Небольшим распространением и разнообразием пользуются месторождения строительных материалов (пески, суглинки, известняки, строительные камни, гравий). Известны проявления гипса, соляных источников, оgneупорного сырья. Из твердых горючих ископаемых имеются бурые угли.

#### ГОРЮЧИЕ ИСКОПАЕМЫЕ

**Признаки нефтепроявления.** Вопрос о нефтегазоносности района, являющийся весьма насыщенным, в настоящее время находится в стадии изучения и окончательно еще не решен.

Западная часть Преденисейского краевого прогиба, вероятно, представляет некоторый интерес в смысле ее возможной нефтегазоносности.

Несмотря на многочисленные буровые и геофизические работы, которые проводились систематически с 1951 г. трестом «Востсибнефтегеология», прямых признаков нефтегазоносности на территории листа до настоящего времени не обнаружено.

На основании глубокого бурения, проведенного к северу от листа, (сел. Мурма, Троицкое, Устье), в отложениях нижнего кембия выявлены как положительные, так и отрицательные факторы по возможной нефтегазоносности прогиба.

К положительным признакам относятся:

1. Наличие в Канско-Тасеевской впадине благоприятных закрытых структур.

2. Наличие в отложениях нижнего кембия битумов, содержание которых колеблется от 0,001 до 0,16%. Повышенное содержание битумов (0,02—0,16%) связано с карбонатными породами. Наиболее обогащенными битумами (0,02—1,50%) оказались пористые известняки и доломиты климинской свиты на Троицкой антиклинали.

3. Наличие газопроявлений углеводородного и водородного состава, закономерное увеличение которых наблюдается с глубины 1580 м в Мурминской опорной скважине. Максимум газопроявлений связан с отложениями климинской свиты.

Установленным фактом является газирование Тынныской роторной скважины с глубины 1100 м. Суточный дебит газа 8000—11000 м<sup>3</sup>/сут давление 30 атмосфер при максимально сниженном уровне воды в скважине. В составе газа содержится метан — 82,97%, этан — 4,78%, пропан — 0,69%, сумма битумов — 0,24%; высшие углероды — 0,03%; азот и редкие газы — 11,29%. Сумма тяжелых углеводородов составляет 5,71%, а углеродное число равно 1,01%.

4. Наличие в водах нижнего кембрия брома, иода и нафтеновых кислот. Подобного состава воды были обнаружены в скв. I (с. Анцирь).

К отрицательным факторам следует отнести незначительную общую пористость отложений климинской свиты, которая не превышает 10% и значительный их метаморфизм.

В то же время указанные отрицательные факторы не могут быть распространены на отложения нижнего кембрия всего прогиба, так как в настоящее время разрез этих отложений еще полностью не изучен.

Учитывая также тот факт, что в отложениях нижнего кембрия Иркутской области, являющихся во многом сходными с одновозрастными отложениями прогиба, были обнаружены жидккая нефть и газ. Отложения нижнего кембрия Преденисейского краевого прогиба, по заключению Фукса и Поспелева (1957), необходимо рассматривать как возможно перспективные в отношении нефти и газа.

На основании проведенных электроразведочных работ комплексным методом ТТ и ДЭД В. И. Поспелев рекомендует без предварительной сейсморазведки ставить роторное бурение в пределах площади листа на Чурюковской, Моховской и Бизуранской антиклиналях, сложенных в сводовых частях на современном эрозионном срезе соответственно кембрийскими отложениями (свита дыроватого утеса) и отложениями кунгусской свиты верхнего девона.

#### Твердые горючие ископаемые

##### Бурый уголь

Бурые угли приурочены к отложениям юрского возраста. Пласти промышленной мощности известны лишь в восточной части листа в среднеюрских отложениях камалинской свиты.

Промышленный интерес представляют два пласта «Нижний» и «Мощный» — имеющие значительное площадное распространение.

Пласт «Нижний» мощностью 6—8,5 м довольно выдержан по площади. Мощность пласта «Мощного» закономерно увеличивается с запада (13 м) на восток (19,1 м). Общий коэффициент угленосности камалинской свиты в среднем составляет 34%.

В пределах площади листа находится западная часть Соколовского буроугольного месторождения — участки Соколовский I, Соколовский II (13), расположенные в районе деревень Соколовка, Залесье, Богдановка. Здесь проведена детальная разведка и подсчитаны запасы углей по категории А<sub>2</sub>+В+C<sub>1</sub> пластов «Нижнего» и «Мощного», на 1/XII-61 г., которые соответственно составляют 177,4 млн. т и 606,9 млн. т.

Качество углей высокое; влажность 18%, выход летучих 45%, зольность на абсолютно сухое топливо 13,53%, теплотворная способность — 6690 кал. Общие запасы месторождения по состоянию на 1/XII 1961 г., по категориям А<sub>2</sub>+В+C<sub>1</sub>, составляют 4551 млн. т, из них открытым способом может быть добыто около 900 млн. т углей с соотношением «вскрыши» к полезному ископаемому 3,2 : 1.

Геологические запасы бурых углей для всей площади листа составляют около 32 млрд. т (Санжара, 1959г).

Спектральный анализ бурых углей показал наличие следующих элементов: титана, бериллия, ванадия, германия, циркония, иттебрия. Интерес представляет относительно повышенное содержание германия в золе бурых углей.

#### МЕТАЛЛИЧЕСКИЕ ИСКОПАЕМЫЕ

##### Цветные металлы

В настоящее время бурые угли не разрабатываются. Однако высокое их качество, благоприятные горнотехнические условия эксплуатации, близость к главной Сибирской железнодорожной магистрали — все это позволяет считать, что на буруогольных месторождениях района в ближайшие годы может быть организована добыча открытым способом.

Курышевское (21) свинцово-цинковое рудопроявление расположено в 14 км к северо-западу от г. Канска. Приурочено оно к отложениям мешаковской свиты. В Канской каменоломне, где обнажаются эти породы, по данным ревизионной партии (Прилож. 1, № 27), галенит наблюдался в виде прожилков мощностью от 0,5 до 1,5 см. Прожилки секут доломиты и песчаники, однако приурочены главным образом к доломитам.

Спектральный анализ галенита показал содержание цинка (0,01—0,1%), молибдена (0,01—0,01%), а также следы (менее 0,01%) меди, титана, серебра. По данным бурения (Суродин, 1957), здесь же встречены мелкие гнездовые включения галенита совместно со сфалеритом и халькопиритом.

По словам старожилов г. Канска, в районе поч. 14 км до 1917 г. кустарным способом добывали свинцовую руду. В 1948—1952 гг. (27) специальные работы по проверке заявки на это рудопроявление дали отрицательные результаты. Однако генезис и перспективность свинцово-цинкового проявления должны быть изучены.

#### Соли

##### Каменная соль

Каменная соль в пределах Канско-Тасеевской впадины генетически связана с отложениями климинской свиты и свиты дыроватого утеса. Севернее территории листа поисковыми работами (Свидерский, 1959г) выявлено два соленосных горизонта. Мощность соленосного горизонта, приуроченного к свите дыроватого утеса, 100—475 м, при общей мощности пластов соли 38—230 м. Прослежен он в интервале с. Троицкое — д. Б. Степь с постепенным выклиниванием к югу.

Второй соленосный горизонт охватывает среднюю и, возможно, нижнюю часть климинской свиты. Мощность его от 260 до 1840 м и более. Общая мощность пластов каменной соли составляет около 1300 м, мощность отдельных пластов чистой соли достигает 75 м, чаще варьирует в пределах 5—12 м. Серьезного внимания заслуживает общая мощность пластов каменной соли и значительное площадное распространение ее. Второй соленосный горизонт не подсечен, но имеющиеся соляные источники (скв. 1, с. Анцирь; скв. 13, с. Белоярское), «Соленое озеро» в 4 км северо-восточнее г. Канска дают основания предполагать его наличие. Окончательно этот вопрос может быть решен только с помощью глубокого роторного бурения.

#### СТРОИТЕЛЬНЫЕ И ОГНЕУПОРНЫЕ МАТЕРИАЛЫ

##### Строительные материалы

На территории листа известно большое количество различных видов месторождений строительных материалов. Большая часть их концентрируется вокруг Канского промышленного узла, а также других крупных населенных пунктов.

##### Доломиты, песчаники, конгломераты, диабазы

Месторождения строительных камней представлены изверженными и осадочными породами с различными физическими свойствами. Основная часть месторождений относится к группе осадочных пород, представленных синий-нижнекембрийскими доломитами и песчаниками, кварцитовидными песчаниками алешинской свиты, карбоновыми конгломератами, верхнекембрийскими и верхнедевонскими песчаниками.

Наибольшее значение имеют песчаники и доломиты Курышевского месторождения (20), которые благодаря значительной прочности и плитчатой отдельности представляют прекрасный строительный материал. Породы здесь

Таблица 3

Месторождение и слагающие его породы	Объемный вес, $\text{г}/\text{см}^3$	Временное сопротивление сжатию, $\text{кг}/\text{см}^2$		Морозостойкость (номера веса %)	Коэффициент размягчения	Износ в барабане деваль	Запасы
		В сухом состоянии	В насыщенном водой состоянии				
Куршевское (22)							
Доломиты	2,58—2,85	946,5—1485	771,2—1313	—	0,75—0,93	—	Около 5 млн. $\text{м}^3$ 40% доломиты; 2,8 млн. $\text{м}^3$ 30% пес- чаники
Песчаники	2,20—2,70	626,9—842,6	454,2—615,7	1—35,2	0,74—0,95	—	
Филимоновское (19)	Не ниже 1,8	Не ниже 100	—	Не более 5,0	Не менее 0,7	—	
Бутовый камень	То же	—	—	—	—	—	
Щебень для балласт- ровки ж. д. путей	—	—	—	—	—	Не более 7,0	Около 3,5—4,0 млн. $\text{м}^3$
Щебень для обычного бетона	—	—	—	—	—	Не более 3,0	Не менее 0,8

Продолжение табл. 3

Месторождение и слагающие его породы	Объемный вес, $\text{г}/\text{см}^3$	Временное сопротивление сжатию, $\text{кг}/\text{см}^2$		Морозостойкость (номера веса %)	Коэффициент размягчения	Износ в барабане деваль	Запасы
		В сухом состоянии	В насыщенном водой состоянии				
Щебень для гидротех- нических бетонов	2,3—2,5	625—1000	500—800	—	—	Не менее 0,8	—

залегают моноклинально с углом падения  $50^\circ$  на северо-восток и представлены переслаивающимися (от 0,2 до 7—8 м) пластами доломитов и песчаников.

Доломиты, по данным Суродина (1957ф), обладают довольно высокими физико-механическими свойствами и по всем показателям удовлетворяют требования технических условий на бутовый камень. В песчаниках имеются разновидности как удовлетворяющие требованиям на бутовый камень, так и некондиционные по коэффициенту размягчения и морозостойкости. Данные по физико-механическим свойствам и запасы помещены в табл. 3.

Учитывая довольно сложное распространение различных по качеству разновидностей песчаников в разрезе толщи, не позволяющее выборочную разработку, данное месторождение считается малоперспективным.

Большой промышленный интерес представляет также Филимоновское месторождение (19) нижнекарбоновых конгломератов, залегающих почти горизонтально под четвертичными отложениями. Данные по физико-механическим свойствам приведены в табл. 2.

По качеству конгломераты удовлетворяют требованиям технических условий на бутовый камень, на щебень для обычного бетона. Хорошие физико-механические свойства и благоприятные горнотехнические условия позволяют считать месторождения конгломератов перспективными и заслуживающими более детального изучения.

Тымырское месторождение кварцитовидных песчаников (15) приурочено к выходам алевинской свиты. Видимая мощность более 50 м. В настоящее время кварцитовидные песчаники не разрабатываются. Большой интерес представляет также Хаеринское проявление (14) подобных же пород, которое имеет геологические запасы свыше 1 млн.  $\text{м}^3$  и лучшие горнотехнические условия разработки. Однако до настоящего времени никаких работ здесь не производилось.

Качество верхнекембрийских и верхнедевонских песчаников не изучено, однако они разрабатываются местными строительными организациями на бутовый камень: Комаровское (16), Сухо-Ершинское (2) месторождения.

В качестве строительного камня интерес представляют дайки диабазов, се-

Таблица 4

Название месторождения и его номер	Химический состав, %					Качественная характеристика и применение	Запасы
	CaO	SiO <sub>2</sub>	R <sub>2</sub> O <sub>3</sub>	MgO	п. п.		
Курышевское (22)	43,42	9,28	1,39	—	40,41	Пригодны для изгото- ления тощей воздушной и гидравлической извести	Около 2,8 млн. м <sup>3</sup>
Подайское (32)	50,65	5,73	2,08	0,85	40,51	Маломагнезиальная, высокоэкзотермическая известь I и II сорта; пригодна для производ- ства пустотелых песча- но-известковых блоков в качестве важущего ве- щества совместно с пес- чано-гравийной смесью	Запасы весьма ог- раниченные
«Крестик» (49)	16,1—43,2	15—20	1,4—4,9	0,39—0,52	34—36	Известняки высоко- кремнеземистые, пригод- ные для изготовления гидравлической извести, а также для производ- ства тощей воздушной извести II и III сорта	Запасы состав- ляют около 80 000 м <sup>3</sup> (по со- стоянию на 1957 г.)
Петрушинское (41)	47,22	12,1	2,0	1,25	—	Известняки сильно мергелистые, непригодные для изготовления воз- душной извести	Запасы весьма ограниченны
Бошняковское (43)	29,46	13—40	2—4	0,60—1,3	—	Известняки не пригод- ны для изготовления воздушной извести	Запасы состав- ляют 200 000 м <sup>3</sup> (по состоянию на 1958 г.)

Спасское (42)	47	12	2	0,74	—	Известняки сильно мергелистые, не пригод- ны для изготовления воздушной извести	Запасы состав- ляют 200 000 м <sup>3</sup> (по состоянию на 1958 г.)
Больше-Уринское (46)	31,49	6—38	2—4	1—2	—	Известняки сильно мергелистые, не пригод- ные для изготовления воздушной извести	Известняки пригодные для изготовления гидрав- лической извести
Карапельское (39)	43—52	6—19	0,6—1,6	0,1—0,7	29,7—40	Известняки пригодные для изготовления гидрав- лической извести	Известняки пригодные для изготовления гидрав- лической извести

кущие девонские отложения. Простирание их с северо-западное, падение на северо-восток под углом 45—60°. Иногда диабазы залегают в виде горизонтальных или едва наклонных пластовых залежей мощностью 7—8 м, имеющих ограниченное распространение и представляющих собой, по-видимому, остатки силлов, уничтоженных процессами денудации.

#### Известняки

Девонские известняки чаргинской свиты широко распространены, но как сырье для получения строительной извести представляют малую ценность из-за загрязненности их примесями, большого содержания кремния, невыдержанности пластов по простираннию, малой мощности полезного ископаемого при значительной вскрыше.

Кроме того и доломиты Курышевского месторождения (22) используются для выжигания извести, но в малых количествах.

В большинстве случаев по химическому составу эти известняки соответствуют высококремнеземистым и являются пригодными в основном для изготовления гидравлической извести (табл. 4).

Несмотря на это, известняки чаргинской свиты разрабатываются местными организациями в небольших сезонных карьерах: Ашкаульское (51), Подаяйское (32), Бошняковское (43), Бражненское-I (52), Бражненское-II (53), Больше-Уринское-I (46), Петрушинское (41), Спасское (42). На месторождениях Карапельском (39), «Крестик» (49) были проведены геологические работы и подсчитаны запасы. Данные об этих месторождениях приведены в табл. 4. Перечисленные месторождения в большинстве случаев обеспечивают строительной извести нужды отдельных колхозов, небольших строительных организаций и местного населения. Крупные стройки и промышленные предприятия г. Канска на базе подобных месторождений в настоящее время не могут быть обеспечены в достаточном количестве хорошей строительной известью. Предшествующими геологическими работами исчерпана возможность нахождения новых месторождений известняков близ г. Канска.

#### Глины кирпичные

Производство кирпича ведется в основном на базе четвертичных суглинков, пользующихся широким распространением. Среди них различаются аллювиальные, делювиальные и эоловые лессовидные разности. Первые два генетических типа дают более пластичные глины, но чаще засорены кластическим материалом, вредно отражающимся на качестве кирпича. Наилучшим сырьем для изготовления кирпича являются лессовидные суглинки, почти свободные от механических примесей, но мощность их обычно невелика.

Таблица 5

Наименование месторождения и его номер	Мощность полезного ископаемого в знаменателе и мощность вскрыши, <i>м</i>	Химический состав, %						
		п. п. п.	SiO <sub>2</sub>	Al <sub>2</sub> O <sub>3</sub>	Fe <sub>2</sub> O <sub>3</sub>	CaO	MgO	SO <sub>3</sub>
Канское-II (35)	$\frac{4,70}{0,3}$	9,3	54,0	16	5,6	9,9	3,3	0,2
Канское-III (47)	$\frac{20,0}{0,4}$	9,3	54,0	16	5,6	9,9	3,3	0,2
Канское-I (34)	$\frac{0,7}{0,4}$	4,37	59,0	16,3	6,54	4,39	2,0	—

К наиболее крупным месторождениям относятся Курышевское (23), Канское (1), на базе которых работают кирпичные заводы, обеспечивающие строительные организации г. Канска (табл. 5).

Курышевское месторождение эоловых и частично эллювиально-делювиальных суглинков расположено на правом берегу р. Курыш, в 3 км юго-восточнее д. Косачевки. Общая вскрытая мощность суглинков достигает 12 м, в северной части — ограничивается 4,4 м. Средняя мощность 7,3 м.

Химический анализ показал следующий состав глин (%): Al<sub>2</sub>O<sub>3</sub> — 14,3; Fe<sub>2</sub>O<sub>3</sub> — 6,0; CaO — 3,78; MgO — 1,58; п. п. п. — 10,0.

Механические анализы глин показали следующие пределы суммарного содержания глинистых, пылеватых и песчаных фракций (%):

Глинистые частицы 0,005 <i>мм</i>	Пылеватые частицы 0,05—0,005 <i>мм</i>	Песчаные частицы 1,0—0,05 <i>мм</i>
11,32—27,2%	56,17—76,41%	5,0—37,5%

При лабораторных и технологических испытаниях глин установлено, что водопоглощение составляет 20,2—22%, пластичность 9,3—20,7 м, воздушная усадка 6%. Глины весьма чувствительны к сушке.

По прочности кирпич характеризуется временным сопротивлением сжатию от 86 до 163 кг/см<sup>2</sup>, изгиб — от 35 до 46 кг/см<sup>2</sup>. Марка кирпича «100».

Разведкой охвачен участок в 100 000 м<sup>2</sup>, запасы подсчитаны по категории

Гранулометрический состав, в знаменателе содержание фракций, %			Число пластичности	Класс пластичности	Марка полученного кирпича	Запасы
Глинистые	Пылеватые	Песчаные				
$\frac{20,9}{33,8}$	$\frac{60,3}{70,5}$	6,3—14,4	7,2—15,9	II	„75“	По категории А <sub>2</sub> — 615 тыс. м <sup>3</sup> . Запасы утверждены ТКЗ при Московском ГУ. Протокол № 106, 27/XII—1948 г.
15,0—37,0	47—71	4,1—25,5	15,6—31,6	I	„150“	По категории А <sub>2</sub> — 1446 тыс. м <sup>3</sup> , по С <sub>1</sub> — 475 тыс. м <sup>3</sup> . Запасы утверждены ТКЗ при МГУ (протокол № 19 от 2/III 1949 г.)
—	—	—	—	—	—	Не подсчитаны

А<sub>2</sub> и утверждены ТКЗ (протокол № 20 от 10/XII-47 г.) и составляют 756,3 тыс. м<sup>3</sup>. На месторождении имеется возможность прироста запасов за счет увеличения площади. Перспективы развертывания производства кирпича в общем довольно благоприятны. Широкое развитие суглинков почти повсюду обеспечивает сырьем местные сезонные кирпичные заводы небольшой производительности, располагающиеся обычно вокруг населенных пунктов. К ним относятся: Архангельское (5), Мокрушинское (9), Сотниковское (10) месторождения. Качество получаемого кирпича не изучено, запасы суглинков не подсчитаны, геологоразведочных работ на данных месторождениях не производилось.

#### Галька и гравий

Все месторождения этого типа приурочены к аллювиальным отложениям р. Кан. Залегают галечники и гравий обычно в виде пластовых залежей, а также линз, среди песчаных отложений. Почти все месторождения гальки и гравия разведаны. Большинство из изучаемых месторождений — Анцирское (26), Подаяйское (27), Ашкаульское (50) — находятся на высоких террасах (IV, VI, V) р. Кан. Гравийные залежи этих террас не обводнены; согласно требованиям они пригодны для бетонов различных марок, для строительных растворов и покрытия железнодорожной насыпи. Некоторые из месторождений — Анцирское (20), Ашкаульское (50), Подаяйское (27) — издавна эксплуатируются различными строительными организациями и почти выработаны. Данные о месторождениях помещены в табл. 6. Месторождения, приуроченные к наиболее низким террасам, обводнены. Качество гравийных смесей таких месторождений хорошее, в большинстве случаев гравий удовлетворяет требованиям для обычного бетона марки не ниже «150».

Канское месторождение (32) расположено в 2 км на запад от г. Канска и в 1 км на юг от р. Кан, на II террасе и представлено пластом мелкозернистого песка мощностью 2,0 м и гравийно-галечной смеси 7,0 м.

Таблица 6

Название месторождения, его номер и местонахождение	Гранулометрический состав гравия						Процентное содержание песка
	>60 мм	60—40 мм	40—20 мм	20—10 мм	10—5 мм	5—3 мм	
Подаяйское (27), расположено в 0,5 км на запад от д. Подаяйск	0,6—16,9	7,5—37	25,8—65,6	32—72	77—50	54—78	18,25—42,8
Анцирское (26), расположено в 1,5—2 км вверх от устья р. Курыш	—	—	—	10—25	2,35	1,35	80 %
Ашкаульское (50), расположено в 1,5 км на юго-запад от д. Ашкаул	0,0—10,8	7,3—28	24—36	22—36	9,3—22	3,9—27	30—61

Гравий удовлетворяет требованиям для обычного бетона марки не ниже «150». Песок месторождения после обогащения полностью удовлетворяет требованиям для кладочных и штукатурных растворов. Геологические запасы гравийно-песчаной массы определены на площади 142 350 м<sup>2</sup> по категориям A<sub>2</sub>+B+C<sub>1</sub> в количестве 8,1 млн. м<sup>3</sup>.

Наиболее перспективными для открытия новых месторождений песчано-гравийных смесей являются II и I террасы р. Кан, которые по предварительным данным характеризуются неограниченными запасами, большой мощностью и благоприятными горнотехническими условиями. Единственным отрицательным фактором до настоящего времени оставалась обводненность залежи. Однако в настоящее время при современном уровне развития техники, подобные залежи вполне могут послужить базой для заложения крупных механизированных карьеров. В настоящее время ведутся работы по разведке песчано-гравийных залежей на II террасе севернее ст. Филимоново.

#### Пески строительные

Месторождения строительных песков приурочены к террасовым отложениям рек и образованиям средней юры. К аллювиальным месторождениям песков относятся Филимоновское (18) и Анжевское (40).

Средний % износа в барабане Девалья	% загрязнения гравия	Мощность полезного ископаемого, в знаменателе мощность «вскрыши», м	Запасы	Применение
12—15	0,5—4,2	5,5 1,5	По категории A <sub>2</sub> — 3272,8 тыс. м <sup>3</sup> . В настоящее время месторождение почти выработано. Запасы по состоянию на 1/II 1959 г. составляют по категории A <sub>2</sub> — 1016 тыс. м <sup>3</sup>	Относится ко II и I сорту балластов для ж. д. пути при условии обогащения
—	3—5,5	1,5—5,8 0,0—1,7	По категории A <sub>2</sub> — 105 820 м <sup>3</sup> ; В — 138 100 м <sup>3</sup> (утверждены ТКЗ при КГУ, протокол № 41 от 13/II 1957 г.)	Пригодно для производства известково-песчаниковых блоков марки «25»
—	0,3—1,13	4,25 2,9	По категориям В 398 тыс. м <sup>3</sup> (утверждены ТКЗ при КГУ, протокол № 70 от 27/XII 1957 г.)	Гравий может быть использован для приготовления бетонов высоких марок >«150». Пески могут быть использованы для приготовления бетонных растворов

Филимоновское месторождение расположено в 6 км на северо-запад от ст. Филимоново, на второй террасе р. Кан. Пески светло-серого цвета, среднезернистые, состоящие из зерен кварца (76%), полевого шпата (3—5%). Горные породы (1,5—17,7%). По качеству песок отвечает всем требованиям стандарта, предъявляемым к ним для песочниц паровозов. Мощность пласта песка колеблется от 1 до 5 м. Мощность вскрыши около 1,65—2,0 м. Общая площадь месторождения 410 000 м<sup>2</sup>, подсчитанные запасы по категории A<sub>2</sub>+B+C<sub>1</sub> составляют 670 000 м<sup>3</sup>.

Анжевское месторождение (40) находится в 0,7 км на юг от д. Анжевка и приурочено к отложениям V террасы р. Кан. Полезное ископаемое представлено пластом кварц-полевошпатового, среднезернистого песка; мощность от 0,9 до 3,8 м; мощность вскрыши от 0,2 до 0,6 м. По данным лабораторных и технологических испытаний пески могут быть применены в качестве сырья для изготовления песчано-известковистых блоков марки «25». На площади 93 500 м<sup>2</sup> подсчитаны запасы по категориям A<sub>2</sub>+B+C<sub>1</sub> и составляют 220 114 м<sup>3</sup>. Горнотехнические условия разработки месторождения благоприятны и позволяют рекомендовать карьерный способ добычи. В настоящее время месторождение не эксплуатируется.

Большая часть месторождений песков образовалась за счет разрушения слабо сцепленных песчаников средней юры. Разведано Подаяйское месторождение (29). Мощность песков юры не установлена, пройденная же

колеблется от 1,0 до 8,3 м. Технологические испытания песка дали следующие результаты:

Гранулометрический состав, %					Частота содержания частиц 0,1 мм, %
1 мм	0,5 мм	0,2 мм	0,1 мм	Менее 0,1 мм	
9,4—43,8	17,5—64,6	64—91,7	89—97	28—10	6,0—18,8

Пески могут применяться для покрытия автомобильных дорог, а также в строительстве в качестве мелкого заполнителя при холодной бетонировке, но с предварительной промывкой для удаления глинистых частиц. По гранулометрическому составу они отвечают требованиям строительной промышленности. Запасы по категории В составляют 1640 тыс. м<sup>3</sup>, общие запасы, утвержденные ТКЗ (протокол № 15 от 15/VI-38 г.) составляют 1 830 270 м<sup>3</sup>. Увеличение их возможно за счет дальнейшей разведки песков на глубину. Остальные — Архангельское (6), Б. Уринское (45), Канское (31), Курыш-Поповичское (11) представляют собой небольшие карьеры. Физико-механические свойства песков не изучены, запасы не подсчитаны.

Запасы песков могут быть увеличены за счет открытия новых месторождений на базе террасовых отложений р. Кан.

### Глиежи

К особому виду месторождений строительных материалов следует отнести глиежи, образовавшиеся в результате подземных пожаров и выгорания угольных пластов. Вмещающие их аргиллиты, песчаники и алевролиты превратились в кирпично-красные, пористые, местами оплавленные и ошлакованые породы. Мощность глиежей 15—30 м. По данным лабораторных исследований, из-за большого процента водопоглощения (табл. 7) они непригодны для приготовления бетонов, а также для покрытия дорожного полотна.

Таблица 7

Название месторождения и их номера	Объемный вес, г/см <sup>3</sup>	Удельный вес, кг/см <sup>3</sup>	Водопоглощение, %	Пористость, %
Курыш-Поповичское (12)	1,7—1,8	2,3	12,2—16,2	22,5—27,8
Николаевское (1)	1,7	2,6	19,1	33,0

Глиежи не разведывались; эксплуатация проводится вручную местными строительными организациями.

Следует сказать, что большинство месторождений строительных материалов является неизученными, так как были выявлены в процессе выполнения различных видов геологических работ, а также ранее обнаружены местными колхозами, совхозами, рапромкооперациями и другими предприятиями.

В общем минерально-сырьевая база района вполне способна обеспечить потребность строительных организаций в таких основных видах строительных материалов, как камни строительные, кирпичные суглинки, песчано-гравийные материалы.

### Гипс

Пласти гипса-ангидаита были вскрыты скважинами колонкового бурения (скв. 9, 14 западнее и северо-западнее р. Моховая) в отложениях верхней части свиты дыроватого утеса нижнего кембрия. Глубина залегания пластов 451—505,3 м (скв. 9), 725—919 м (скв. 14); мощность пластов колеблется от 0,5 до 9,6 м.

Данные о химическом составе их приведены в табл. 8.

Таблица 8

№ скв.	Содержание, %						Содержание стронция по данным спектрального анализа
	Вода кристаллизационная	Нерастворимого остатка	CaO	MgO	Fe <sub>2</sub> O <sub>3</sub>	Al <sub>2</sub> O <sub>3</sub>	
9	2,3—7,2	5,3—16,1	30,4—37,5	1,4—2,9	0,07—0,1	0,16—0,38	43—51 1,0
14	2,0—8,7	3,9—36,5	20—38	1,4—3,7	0,2—0,8	0,3—2,2	42—55 0,6—1,0

Большая глубина залегания пластов гипса в значительной степени снижает его ценность. Геологических же предпосылок для нахождения гипса на меньшей глубине в исследуемом районе нет.

### Оgneупорные материалы

#### Флинтклей

Оgneупоры на площади листа зафиксированы в трех точках: у д. Подайск (30), в устье руч. Мохового правого притока р. Кан (38) и по обоим берегам р. Илань в 1,4 км от устья.

Генетически флинтклей связаны с корой выветривания, залегающей в основании песчаных отложений (*C<sub>1</sub>ls*), которые сохранились здесь лишь в виде небольших участков, приуроченных к дюрским впадинам.

Наиболее детально изучено проявление флинтклея на правом берегу р. Кан, в районе д. Подайск. На неровной поверхности известняков лежит белая, участками кремовая, брекчиявидная, плотная каолиново-кремнистая порода. От подстилающих известняков кора выветривания отделена ожелезненным прослойком, мощность которого колеблется от 2 до 5 м. Стратиграфически выше залегают белые, плотные каолиновые породы, содержащие в различных количествах мелкие кремнистые включения, а также углистые частицы. Они образуют, очевидно, линзовидные тела мощностью от 0,2 до 2 м. Сверху они перекрываются песчаниками кварцевыми, плотными.

По химическому составу оgneупоры относятся к флинтклеям (табл. 9). Они характеризуются несколько повышенным, по сравнению с каолином, содержанием окиси кремния.

Таблица 9

SiO <sub>2</sub>	Al <sub>2</sub> O <sub>3</sub>	Fe <sub>2</sub> O <sub>3</sub>	TiO <sub>2</sub>	П. п. п.	Сумма	Al <sub>2</sub> O <sub>3</sub>	Оgneупорность
48,6—51,56	31,28—34,34	1,2—1,6	0,23—0,34	14,26—15,38	98,02—99,95	0,62—0,71	1720—1770

Вторая точка проявления флинткляя находится в 40 м от устья руч. Молового (38) вверх по течению, в левом ее борту. Флинтклей светло-серого, почти белого цвета, разбит трещинами на отдельные мелкие куски неправильной формы. В общей массе наблюдается повсеместное включение зерен кремния и кварца, а также отдельные прослои мелкозернистого песчаника мощностью до 0,2 м. Видимая мощность линзы флинткляя около 4,5 м. Флинтклей использовались для изготовления огнеупорного кирпича кустарным способом. Подобные породы встречены по р. Илань, в 1,4 км от устья.

Поскольку флинтклей является весьма ценным промышленным сырьем, вышеописанные проявления следует детально исследовать с целью выявления перспектив их разработки.

#### СОЛЯНЫЕ ИСТОЧНИКИ И ЛЕЧЕБНЫЕ ГРЯЗИ

Установлено три источника соляных вод (25, 17, 38). Воды связаны с нижнекембрийскими и синийскими отложениями. По типу они трещинные, по составу — хлоридно-натриевые.

Белоярский и Анцирский (17,25) источники представляют собой фонтанирующие скважины с небольшим дебитом: от 0,06 до 0,2 л/сек. Сухой остаток составляет 23,4—36,1 г/л; содержание натрия 13,5 г/л, хлора 20,8 г/л. Общая минерализация Анцирского источника составляет 34,3 г/л, содержание брома 258 мг/л; для Белоярского — общая минерализация 23 г/л, содержание брома 160 мг/л.

Источник «Соленое озеро» (36) характеризуется слабо соленой водой с дебитом 1,25 л/сек. Грязи «озера» используются в медицине для лечения костного туберкулеза.

#### ОБЩИЕ ПЕРСПЕКТИВЫ РАЙОНА И РЕКОМЕНДАЦИИ О НАПРАВЛЕНИИ ДАЛЬНЕЙШИХ РАБОТ

Территория листа сложена в основном осадочными породами, поэтому весь комплекс относится кнерудным. Главными видами полезных ископаемых, на которые проводились поисковые работы, являются бурый уголь, строительные материалы (песчано-гравийная смесь, бутовый камень, кирпичные суглинки, известняки, пески), флинтклей, каменная соль, нефть, свинец.

Проведение дальнейших работ по поискам карбонатных пород, строительных камней, ввиду исчерпанной возможности по нахождению новых месторождений, нецелесообразно.

Учитывая современное состояние изученности геологического строения района, можно говорить о перспективности его на следующие полезные ископаемые: бурый уголь, каменная соль, нефть, песчано-гравийную смесь, флинтклей, бентонитовые глины, свинец.

Общие перспективы района определяются особенностями геологического строения. На площади листа широким распространением пользуются угленосные юрские отложения. Пласти промышленной мощности известны в восточной части в отложениях камалинской свиты, угленасыщенность которой увеличивается с запада на восток.

Промышленный интерес представляют два пласта «Нижний» и «Мощный», мощность которых соответственно составляет 6—8,5 м и 13—19 м с закономерным увеличением их к центру буроугольного бассейна. Геологические запасы бурых углей на площади листа составляют около 32 млрд. т, качество угля высокое. Ввиду сравнительной близости пластов бурых углей к дневной поверхности, последние могут отрабатываться открытым способом. Коэффициент вскрышки колеблется от 3,0 : 1 до 3,5 : 1.

Принимая во внимание вышеизложенное, для проведения детальной разведки бурых углей можно рекомендовать участок восточнее деревень Ношино, Нижний Карнашет, Козловка, Аршет. Перспективность этого участка определяется наличием 19-метрового пласта угля, высоким его качеством, благоприятными горнотехническими условиями и, главное, близостью Сибирской железнодорожной магистрали.

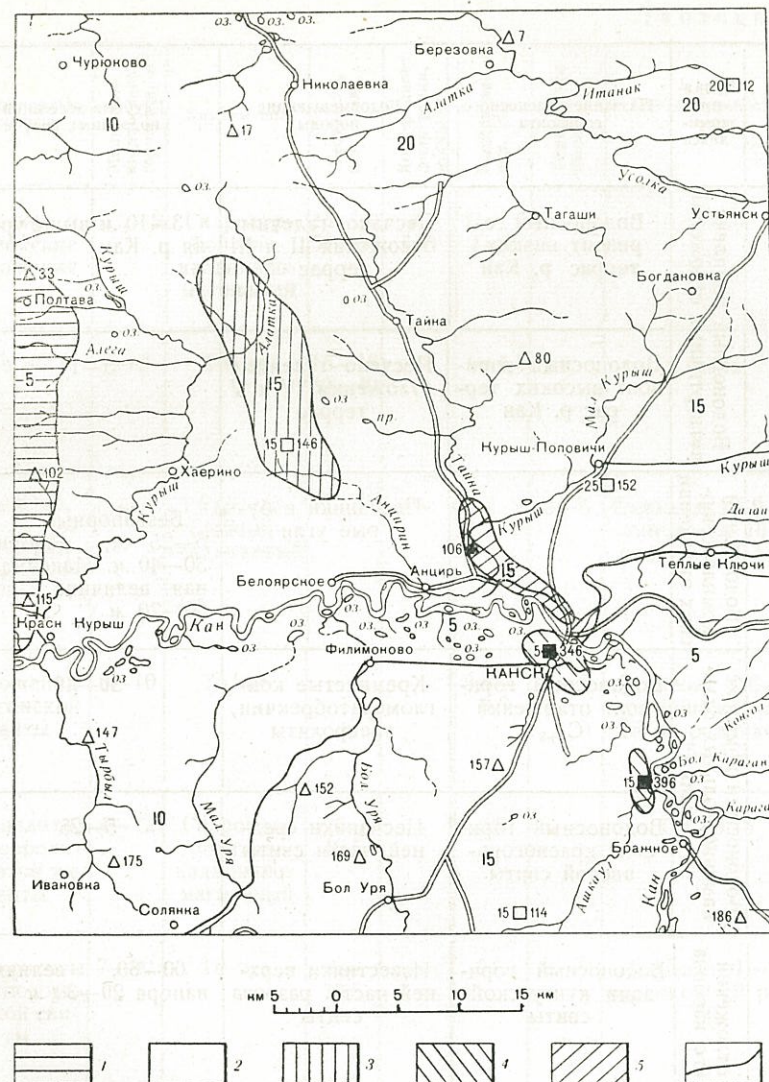


Рис. 5. Гидрохимическая схема  
 1 — гидрокарбонатно-кальциевые воды с минерализацией до 0,1 г/л;  
 2 — гидрокарбонатно-кальциевые воды с минерализацией до 1 г/л; 3 — гидрокарбонатно-хлоридно-кальциевые воды с минерализацией 0,5—1 г/л; 4 — площади развития загрязненных вод с минерализацией 1—3 г/л; 5 — хлоридно-натриевые воды с минерализацией 5—30 г/л; 6 — границы между водами различной минерализации и химического состава; 7 — глубина залегания подземных вод; 8 — родники с минерализацией воды до 1 г/л (справа — номер); 9 — родники с минерализацией воды выше 1 г/л (справа — номер); 10 — колодцы с минерализацией воды до 1 г/л (слева — глубина до уровня воды, справа — номер); 11 — колодцы с минерализацией воды выше 1 г/л (слева — глубина до уровня воды, справа — номер)

Таблица 10

Тип вод	Название комплекса	Название водоносного горизонта	Водовмещающие породы	Глубина залегания подземных вод, м
Порово-пластовый	Водоносный комплекс четвертичных отложений	Водоносный горизонт низких террас р. Кан	Песчано-галечные отложения II и III террас	3—10 м выше уровня р. Кан
		Водоносный горизонт высоких террас р. Кан	Песчано-галечные отложения IV и V террас	5—11
Порово-трещинно-пластовый	Водоносный комплекс юрских отложений		Песчаники и бурые угли	Безнапорные 5—25 м, напорные 30—40 м. Максимальная величина напора 60—70 м
Водоносный комплекс каменноугольных отложений	Водоносный горизонт отложений C <sub>2+3</sub>	Кремнистые конгломератобрекчиин, алевролиты		30—40
	Водоносный горизонт красногорьевской свиты	Песчаники средней части свиты		5—25

Водоупорные породы	Мощность водоносного горизонта, м.	Химизм вод	Жесткость, нем. град.	Коэффициент фильтрации, м/сутки	Минерализация, г/л	Температура воды, °С	Водообильность, л/сек
Юрские и девонские отложения	5,5—6	Гидрокарбонатно-кальциевомагниевый	16—18; 50—60	50—150	Не > 1—2	—	1—10
То же	5—7	То же	15—19; 30—40	—	1—1,5	4	Слабая
Кембрийские и девонские отложения	—	Гидрокарбонатно-кальциевый	12—18	—	1	3—5	Скважин: 1—9 при понижении 10 м; родников 0,1—3
Отложения чаргинской свиты	8—10	То же	—	—	0,4—0,6	3—5	Скважин: 0,6—1,5 при понижении до 15 м; родников 0,5—1,5
Аргиллиты и алевролиты этой же свиты	4—12	Гидрокарбонатно-кальциевомагниевый	7,5—10,5	—	0,5	—	0,2—0,45
Алевролиты красногорьевской свиты	7—30	То же	6—10,5	—	0,5	3—5	Скважин 1—2, родников 1,0 реже 50
Алевролиты и аргиллиты этой свиты	—	Гидрокарбонатно-кальциевый на глубине до 50 м. Хлоридно-натриевый на глубине не более 100 м	18—20 40—50	— 1,5—2,5	1 —	—	Скважин 0,1—0,2 при понижении 30—40 м родник. 0,01—0,2

Тип вод	Название комплекса	Название водоносного горизонта	Водовмещающие породы	Глубина залегания подземных вод, м
Трещинно-пластовый	Комплекс водоносных горизонтов синия и кембрия	Синия—нижнего кембрия	Доломиты, кварциты, песчаники, алевролиты	400—500 величина напора до 110 м
		Верхнего кембрия	То же	
Трещинный		Грунтовые воды таракской интрузии	Трещиноватая верхняя часть интрузии	50—60 (приближенно)

2. За пределами площади листа известны месторождения каменной соли, генетически связанные с отложениями свиты дыроватого утеса и климинской. Глубокими скважинами на территории листа соленосные горизонты не подсечены, но выходы источников дают основание предполагать его наличие. Наиболее перспективным участком, вероятно, можно считать область Преденисейского краевого прогиба в районе деревень Мокруша — Леонтьевка; Чурюково — Сухо-Ерша. Окончательно этот вопрос можно разрешить только с помощью глубокого роторного бурения.

3. Признаки нефтепроявления известны севернее площади листа, на Троицкой, Мурминской, Устьянской структурах. Здесь, в породах нижнего кембрия, установлены положительные факторы возможного нефтепроявления (наличие битумов от 0,001 до 16%; газопроявления и газирование из скважины углеводородного и водородного состава, наличие в водах брома, йода, нафтеновых кислот). Учитывая участие в строении площади листа пород нижнего кембрия их с аналогичными одновозрастными отложениями Иркутского амфитеатра, где обнаружены газ и нефть. Преденисейский краевой прогиб необходимо рассматривать как область возможно перспективную на газ и нефть. Благоприятные структурные особенности района подтверждаются и комплексными геофизическими работами (Б. А. Фукс; Поспевев, 1957).

Принимая во внимание вышеизложенное и на основании геофизических данных можно рекомендовать роторное бурение в пределах листа на Чурюковской, Моховой и Безуранской антиклиналях.

4. В связи с увеличением спроса на песчано-гравийную смесь для производства железо-бетонных конструкций при строительстве наиболее перспективными участками для новых месторождений являются I и II террасы р. Кан.

5. Значительный интерес представляют находки оgneупорных глин (флинклей) в основании отложений тушамской свиты. Наиболее перспективными участками для поисков флинклей являются участки, где отложения тушам-

Водоупорные породы	Мощность водоносного горизонта, м	Химизм вод	Жесткость, нем. град.	Коэффициент фильтрации, м/сутки	Минерализация, г/д	Температура воды, °С	Водообильность, л/сек
Аргиллиты		Хлоридно-натриевый Хлоридно-гидрокарбонатно-натриево-кальциевый	—	26—36	6	—	Скважин 0,1—3
		Сульфатно-кальциево-магниевый					
—	—	Гидрокарбонатно-кальциево-магниевый	4—5	—	0,2	5—6	Модуль подземного стока 1,4—1,5 с 1 км <sup>2</sup>

ской свиты непосредственно залегают на известняках чаргинской свиты (с. Анцирь; руч. Моховой, устье р. Илани).

6. На территории листа О-46-XXXV выявлено рудопроявление бетонитовых глин в отложениях красногорьевской свиты. Учитывая присутствие последних на территории изученного листа и одинаковые условия образования их, одной из первоочередных задач является, проведение комплекса поисковых работ с целью выявления и оконтуривания участков перспективных для разведки этого ценного сырья для бумажной, химической, нефтеперерабатывающей промышленности.

7. Рудопроявление свинца и цинка связано с отложениями мошаковской свиты, выделенными на дневную поверхность по тектоническому нарушению, в 14 км северо-западнее г. Канска.

Содержание полезных компонентов (цинка, меди, титана, серебра) незначительно (0,1—0,01% и менее). Однако это рудопроявление заслуживает внимания, как одно из первых рудных проявлений, с целью изучения его генезиса и перспективности.

Следует обратить особое внимание на зоны крупных региональных разломов, которые вовлечены разновозрастные карбонатные отложения. С этой точки зрения возможно благоприятным является район д. Чурюково.

## ПОДЗЕМНЫЕ ВОДЫ

В пределах площади листа подземные воды приурочены к четвертичным, юрским, каменоугольным, девонским, отложениям синия — нижнего кембрия и к таракским гранитам. По характеру вмещающей среды подземные воды четвертичных отложений относятся к типу порово-пластовых.

Подземные воды дочетвертичных отложений в подавляющем большинстве относятся к типу трещинно-пластовых, причем в юрских отложениях наибо-

лее развиты порово-трещинно-пластовые воды. Подземные воды, приуроченные к таракским гранитам, могут быть отнесены к трещинным.

Имеющиеся материалы по подземным водам позволяют выделить следующие водоносные комплексы, разделяемые на горизонты.

I. Водоносный комплекс четвертичных отложений: 1) водоносный горизонт низких террас долины р. Кан; 2) водоносный горизонт высоких террас долины р. Кан.

II. Водоносный комплекс юрских отложений.

III. Водоносный комплекс каменноугольных отложений: 1) водоносный горизонт средне-верхнекаменноугольных отложений; 2) красногорьевский водоносный горизонт одноименной свиты нижнего карбона.

IV. Водоносный комплекс отложений верхнего девона — нижнего карбона: 1) Чаргинский водоносный горизонт одноименной свиты верхнего девона — нижнего карбона; 2) Водоносный горизонт кунгусской свиты верхнего девона.

V. Комплекс водоносных горизонтов кембрийских и синийских отложений.

VI. Комплекс трещинных вод таракских гранитов.

Полная характеристика горизонтов и комплексов подземных вод приведена в табл. 10; площадное распространение подземных вод, различных по химическому составу, показано на рис. 5.

## ЛИТЕРАТУРА

### Опубликованная

Башенина Н. В. и др. Легенда для геоморфологических карт съемочных масштабов и ее место в единой геоморфологической классификации. «Советская геология», 1948, № 11.

Благовещенская М. Н. Объяснительная записка к листу О-47. Госгеолтехиздат, 1958.

Васильев В. Г. и др. Геологическое строение юга Сибирской платформы и нефтегазоносность кембрия. Гостоптехиздат, 1957.

Геологическое строение СССР, Госгеолтехиздат, т. 1—3, 1958.

Кириченко Г. И. Объяснительная записка к листу О-46, Госгеолтехиздат, 1951.

Коллектив авторов. Под редакцией И. П. Каравеса. Геология и нефтегазоносность Восточной Сибири. Госгеолтехиздат, 1959.

Мордовский В. Г. Тектоника и нефтегазоносность южной части Сибирской платформы. АН СССР, 1959.

Нейбург М. Ф. Опыт фитостратиграфического сопоставления верхнепалеозойских отложений Ангары и Гандваны. Вопросы геологии Азии, 1957.

Спижарский Т. Н. Стратиграфия и фауны осадочно-вулканогенного покрова Сибирской платформы. «Советская геология», 1953, № 12.

Спижарский Т. Н. Сибирская платформа. Геологическое строение СССР, т. 3, 1958.

Тимофеев Б. В. Споры протерозойских и раннепротерозойских отложений Восточной Сибири и их стратиграфическое значение. Материалы по геологии Сибирской платформы, 1959.

### Фондовая

Аксарин А. В. Материалы к стратиграфии угленосных отложений северной части Канско-Тасеевской впадины и юго-западной части Тунгусской угленосной площади. Фонды Красноярского ГУ, 1949.

Благодатский А. В., Уссар Р. Т. Объяснительная записка к листу О-46-XXXIII. Фонды Красноярского ГУ, 1961.

Бритченко А. Д., Миронов И. Н. Геологическое строение и вопросы нефтегазоносности западной части Канско-Тасеевской впадины. Фонды Красноярского ГУ, 1953.

Булмасов А. П. Отчет о работах Канской тематической партии № 29 за 1955—1956 гг., по теме «Обобщение и анализ геофизических работ, прове-

денных в Канско-Тасеевской и Рыбинской впадинах». Фонды Красноярского ГУ, 1957.

Вастьянов С. С. и Жуйко И. П. Геологическое строение листа N-46-V. Фонды Красноярского ГУ, 1959.

Волобуев М. И. и др. Промежуточный отчет по теме: «Определение абсолютного возраста магматических комплексов Енисейского кряжа и некоторые особенности их геохимии». Фонды Красноярского ГУ, 1958.

Дедова В. В. Отчет южного отряда Ивановской экспедиции о поисках песчано-гравийных материалов в районе г. Канска. Фонды Красноярского ГУ, 1958.

Жарков М. А. Стратиграфия кембрийских отложений западной части Сибирской платформы. Фонды Красноярского ГУ, 1957.

Ковалев Б. В. Геологические результаты структурно-картировочного бурения на Тайнинско-Тагашинской площади. Фонды Красноярского ГУ, 1955.

Котикова Л. А. Геологические результаты структурно-картировочного бурения на Анцирской площади. Фонды Красноярского ГУ, 1951.

Кузнецов Ю. А. Геологическое строение и полезные ископаемые юго-западной части Южно-Енисейского кряжа. Фонды Красноярского ГУ, 1937.

Лесгафт А. В. Материалы по геологии бассейна среднего течения р. Кан. Фонды Красноярского ГУ, 1948.

Лукашевич В. С. Отчет о работе Канской сейсмической партии за 1953 г. Фонды Красноярского ГУ, 1953.

Москалев В. Н., Ляшенко Л. П., Дедова В. В. Геологическое строение листа О-46-XXXVI (Промежуточный отчет по работам Канской геологосъемочной партии за 1958 г.). Фонды Красноярского ГУ, 1959 г.

Парфенов Ю. И., Гончаров Ю. И. Геологическое строение листа О-46-XXXV. Фонды Красноярского ГУ, 1961.

Поспелев В. И. Отчет о работах Абанской электроразведочной партии № 16/57. Фонды Красноярского ГУ, 1957.

Саванин В. С. Подземные воды листа О-46-XXXVI (Промежуточный отчет по работам Канской гидро-съемочной партии за 1958—1959 гг.). Фонды Красноярского ГУ, 1959.

Санжара И. А. и Иванова А. В. Северная часть Канского буроугольного бассейна (сводный отчет о геологосъемочных, поисковых, разведочных работах, проведенных Канской геологоразведочной партией в 1947—1950 гг.). Фонды Красноярского ГУ, 1951.

Саханова Н. С. Стратиграфическое и возрастное подразделение угленосных отложений Рыбинского района Канского бассейна методом споропыльцевого анализа. Фонды Красноярского ГУ, 1952.

Свидерский В. А. Отчет о поисках каменной соли в западной части Канко-Тасеевской впадины. Фонды Красноярского ГУ, 1959.

Стриженев В. А. Бурение Канко-Тасеевской нефтеразведочной партии на Канской антиклинали. Фонды Красноярского ГУ, 1940.

Сулимов И. Н. Геологическое строение северо-западной части Канского района. Фонды Красноярского ГУ, 1952.

Суродин Н. И. Отчет Анцирского отряда Ивановской экспедиции о поисках бутового камня в районе г. Канска. Фонды Красноярского ГУ, 1957.

Троицкий В. Г. Отчет о работах Тайшетской геофизической партии в Красноярском крае. Фонды Красноярского ГУ, 1952.

Фениксов В. В., Рогозин Л. А., Горшков С. П. Промежуточный отчет по теме: «Стратиграфия, литология, геоморфология четвертичных отложений Чулымо-Енисейского бассейна». Фонды Красноярского ГУ, 1957.

Хоментовский А. С. Материалы по геологии и полезным ископаемым Восточной окраины Енисейского кряжа. Фонды Красноярского ГУ, 1935.

Щупак Л. М. Отчет о работах Иркутской аэромагнитной партии № 13/56. Фонды Красноярского ГУ, 1956.

## ПРИЛОЖЕНИЕ I

СПИСОК МАТЕРИАЛОВ, ИСПОЛЬЗОВАННЫХ ДЛЯ СОСТАВЛЕНИЯ  
КАРТЫ ПОЛЕЗНЫХ ИСКОПАЕМЫХ

№ п/п	Фамилия и инициалы автора	Название работы	Год со- ставле- ния или издания	Местонахождение материала, его фондовый № или место издания
1	Вашестик Г. Г.	Ашкаульское месторождение гравия	1957	Фонды КГУ, 05485
2	Горецкий Ю. К., Калмыков Н.	О поисках бокситов и огнеупорных пород типа флинктлей в палеозой- ских угленосных отло- жениях Сибирской плат- формы	1957	Фонды КГУ, 7801
3	Грехов А. П.	Отчет о детальной раз- ведке Анжевского месторождения песков в Иланском районе Крас- ноярского края по со- стоянию на 1/1 — 1957 г.	1957	Фонды КГУ, 3973
4	Дедова В. В., Ляшенко Л. П.	Месторождение строи- тельных материалов Тас- еевского, Дзержинского, Канского районов Крас- ноярского края и Илан- ского района	1957	Фонды КГУ, 4492
5	Егоров А. С.	Геология залежей бал- ластного материала в полосе трассы Краснояр- ской железной дороги	1938	Фонды КГУ, 403
6	Конюший П. Р.	Отчет о работах Ку- рышовской геологопоис- ковой партии, проведен- ных в 1942 г.	1944	Фонды КГУ, 1457
7	Минеев Ю. М., Ильиных Е. Г.	Отчет о разведке I участка Филимонов- ского месторождения песков Красноярской железной дороги	1954	Фонды КГУ, 4899
8	Москалев В. Н., Ляшенко Л. П., Дедова В. В.	Геологическое строе- ние листа О-46-XXXVI (Промежуточный отчет Канской геологосъемоч- ной партии за 1958 г.)	1959	Фонды КГУ, 08923
9	Минко Г. М.	Отчет о детальной раз- ведке Филимоновского месторождения песков	1946	Фонды балласт. конторы Управ. Красн. жел. дороги

Продолжение прилож. 1

№ п/п	Фамилия и инициалы автора	Название работы	Год со- ставле- ния или издания	Местонахождение материала, его фондовый № или место издания
10	Миронов М. И., Лисицын А. А.	Отчет Канско-Сути- хинского геологопоиско- вого отряда о результа- тах поисков на галечник в районе рек Бирюсы и Кана летом 1937 г.	1938	Фонды КГУ, 398
11	Пьянков П. А.	Отчет о рекогносциро- вочно-поисковых рабо- тах на известняки в ок- рестностях г. Канска Красноярского края	1948	Фонды КГУ, 3768
12	Розунбаум В. Г.	Отчет о детальной разведке Канского ме- сторождения кирпичных суглинков (уч. II)	1948	Фонды КГУ, 3902
13	Розенбаум В. Г.	Отчет о детальной разведке Канского ме- сторождения кирпичных суглинков (уч. I)	1948	Фонды КГУ, 3889
14	Саванин В. С.	Подземные воды листа О-46-XXXVI (Промежу- точный отчет по рабо- там Канской гидроэс- емочной партии за 1958— 1959 гг.)	1959	Фонды КГУ, 08978
15	Санжара И. А., Иванова А. В.	Северная часть Кан- ского буроугольного бас- сейна	1947— 1950	Фонды КГУ, 5197
16	Струкуленко О. П.	Отчет о поисково-раз- ведочных работах на из- вестия, проведенных Та- сеевской партией и Иланским отрядом в Канском, Тасеевском и Дзержинском районах в 1954—1956 гг.	1956	Фонды КГУ, 1602
17	Сулимов И. Н.	Геологическое строе- ние северо-западной ча- сти Канского района	1951	Фонды КГУ, 5232
18	Суродин Н. И.	Отчет Анцирского от- ряда о поисках бутового камня в районе г. Кан- ска	1958	Фонды КГУ, 7929

Продолжение прилож. 1

№ п/п	Фамилия и инициалы автора	Название работы	Год со- ставле- ния или издания	Местонахождение материала, его фондовый № или место издания
19	Сухова Т. Г.	Отчет о детальной разведке Анцирского пес- чано-гравийного место- рождения Канского рай- она Красноярского края по состоянию на 1/X— 1956 г.	1956	Фонды КГУ, 3980
20	Федоров В. Ф.	Сводка данных по ме- сторождениям известня- ков в Красноярском крае	1949	Фонды КГУ, 3869
21	Федоров В. Ф.	Кадастр месторожде- ний известняка Красно- ярского края	1947	Фонды КГУ, 3182
22		Отчет проектного ин- ститута № 2 о разведке Канского песчано-гра- вийного карьера строй- треста № 143 в г. Кан- ске	1947	Фонды КГУ, стройтреста, 143
23		Паспорт Подаяйского месторождения галечни- ка Канского района	1947	Фонды КГУ, 3251
24		Паспорт I участка Филимоновского место- рождения песка	1947	Фонды КГУ, 4899
25			1948	Фонды КГУ, 3601
26		Сборник Академии Ар- хитектуры «Местные строительные материалы Красноярского края»	1952	Фонды Край- плана
27		Отчет о поисково-ре- визионных работах за 1952 г. Канского отряда Центральной партии, п/я № 140	1952	Фонды КГУ, 073229

**СПИСОК ПРОМЫШЛЕННЫХ МЕСТОРОЖДЕНИЙ  
ПОЛЕЗНЫХ ИСКОПАЕМЫХ, ПОКАЗАННЫХ НА ЛИСТЕ О-46-XXXVI  
КАРТЫ ПОЛЕЗНЫХ ИСКОПАЕМЫХ МАСШТАБА 1 : 200 000**

№ по карте	Индекс клетки на карте	Наименование месторождения и вид полезного ископаемого	Состояние эксплуатации	Примечание	
				Бурый уголь	Связано с камалинкой свинцовой средней юры
<b>Твердые горючие ископаемые</b>					
13	II-4	Соколовское	Не разрабатывается	К	15
<b>Строительные материалы</b>					
23	III-3	Курышевское	Не разрабатывается	К	15
35	III-3	Канско-II	Разрабатывается	К	13
47	IV-3	Канско-III	Не разрабатывается	К	12
40	III-4	Песок строительный Анжевское	Не разрабатывается	К	3

29	III-3	Подайское	Разрабатывается	К	10, 23	Пески приурочены к отложе- ниям I террасы р. Кан сред- ней юры	Приурочены
18	III-2	Филимоновское	Не разрабатывается	К	7, 9, 24, 25	Пески приурочены к отложе- ниям II террасы р. Кан	
19	III-2	Филимоновское	Разрабатывается	К	18, 6	Конгломераты приурочены к отложением C <sub>2+3</sub>	
26	III-3	<i>Галька и гравий</i> Анцирское	Не разрабатывается	К	19	Галька и гравий приурочены к отложением IV террасы р. Кан	
50	IV-4	Ашкульское	Разрабатывается	К	1	Галька и гравий приурочены к отложением V террасы	
33	III-3	Канское	Не разрабатывается	К	4	Галька и гравий приурочены к отложением II террасы	
27	III-3	Подайское	Разрабатывается	К	10, 23	Галька и гравий приурочены к отложением IV террасы	
31	III-3	Канско-1, 5 км Тасеевского тракта от г. Канска, на правом берегу р. Кан	Не разрабатывается	К	4	В отложениях IV террасы р. Кан наблюдается залежь	
6	1-3	<i>Песок</i> Архангельское, расположено в 0,2 км юго-восточнее с. Ар- хангельское	Разрабатывается	К	17	В искусственной выработке скрыт песок	
48	IV-3	Чигульское	"	К	4	Галька и гравий приурочена к отложением V террасы р. Кан	

**СПИСОК НЕПРОМЫШЛЕННЫХ МЕСТОРОЖДЕНИЙ  
ПОЛЕЗНЫХ ИСКОПАЕМЫХ, ПОКАЗАННЫХ НА ЛИСТЕ О-46-XXXVI  
КАРТЫ ПОЛЕЗНЫХ ИСКОПАЕМЫХ МАСШТАБА 1:200 000**

№ по карте	Индекс клетки на карте	Наменование месторождения и вид полезного ископаемого	Состояние эксплуатации	Строительные материалы		Примечание
				Известник	Кирпичи из известняка	
51	IV-4	Ашкадульское	Не разрабатывается	К	15	Известник пригоден для изготовления портландцемента
39	III-4	Карандельское	Эксплуатируется	К	11	Известник пригоден для изготовления гидравлической извести
49	IV-4	«Крестик»	Разрабатывается	К	11	Известник пригоден для изготовления гидравлической извести
37	III-4	Ловатское	Не разрабатывается	К	11	Известник пригоден для изготовления гидравлической извести
32	III-3	Подайское	Разрабатывается	К	11, 19, 20	Получаемая извесь пригодна для производства пустотелых песчано-известниконых блоков
43	IV-2	Бошняковское, расположено близ ст. Боншняково	Не разрабатывается	К	16	Большая часть известняка обладает высокой износостойкостью

5	52	IV-4	Браянское-I, расположено у южной окраины д. Браяное на левом берегу р. Кан	Не разрабатывается	К	15
	53	IV-4	Браянское-II, расположено в 5 км от д. Браяное, вверх по течению р. Кан	Разрабатывается Однотипные почвы	К	4
	46	IV-2	Больше-Уринское I, расположено на левом берегу р. Уря, в 3 км вверх по течению от р. Большой Уря	Не разрабатывается		20, 21
	44	IV-2	Больше-Уринское-II, расположено на правом берегу р. Большой Уря, близ д. Большой Уря	Разрабатывается		16
	41	IV-1	Петрушинское, расположено у д. Старые Петрушки	"		16
	42	IV-1	Слапское, расположено в 2 км на север от д. Спасовка	"		16
	22	III-3	Доломит Курышевское	Разрабатывается		18, 15
					Глинистые породы	11
					Глины кирпичные	17
	5	I-3	Архангельское, расположено на южной окраине д. Архангельск	Разрабатывается		
	24	III-3	Косачевское, расположено в 5-6 км от д. Косачевка, по аз. ЮВ 125	Не разрабатывается		13600

№ по карте	Индекс клетки на карте	Наименование месторождения и вид полезного ископаемого	Состояние эксплуатации	Примечание
9	II-1	Мокрушинское, расположено в юго-восточной части д. Мокруша	Разрабатывается	
10	II-3	Сотниковское, расположено на правом берегу р. Тайна, около южной окраины д. Сотниково	"	
34	III-3	Канское-I	"	
38	III-4	Огнеупорные глины	Не разрабатывается	
30	III-4	Моховское, расположено в 1,5 км от восточной окраины д. Падайск, на правом берегу р. Кан	То же	
45	IV-2	Подайское, расположено в 1,5 км от восточной окраины дер. Падайск на правом берегу р. Кан		
45	IV-2	Б. Уринское, расположено в 0,2 км на восток от д. Бол. Урия по Московскому тракту	Разрабатывается	
<b>Обломочные породы</b>				
28	III-3	Канское-II, расположено в 5 км от г. Канска по Абаканскому тракту	"	
11	II-3	Курыш-Половицкое, расположено на западной окраине д. Курыш-Половицы	"	
16	III-1	Комаровское, расположено в д. Комарово, на правом берегу р. Тырбыл, в 0,8 км от устья р. Курышевское	"	
20	III-3	Сухо-Ершинское, расположено в 1,6 км от северо-восточной окраины д. Сухо-Ерши по дороге на Александро-Ерши	Разрабатывается	
2	I-2	Тамбурское, расположено в 1,6 км от северо-восточной окраины д. Сухо-Ерши по дороге на Александро-Ерши	"	Не разрабатывается
15	III-1	Хаеринское, расположено на правом берегу р. Курыш, в 4,5 км вниз по течению от д. Хаерино	То же	

26	Глины приурочены к отложениям III террасы р. Кан			
4	Песчаник применяется для улучшения дорог			
15				
8	Песчаники используются местным населением в качестве бутового камня			
18, 15	Песчаник пригоден для бутового камня			
8				
17, 18				
8				
8				

**СПИСОК ПРОЯВЛЕНИЙ ПОЛЕЗНЫХ ИСКОПАЕМЫХ,  
ПОКАЗАННЫХ НА ЛИСТЕ О-46-XXXVI  
КАРТЫ ПОЛЕЗНЫХ ИСКОПАЕМЫХ МАСШТАБА 1 : 200 000**

№ по карте	Индекс клетки на карте	Название (местонахождение) проявления и вид полезного ископаемого	Характеристика проявления	№ используемого материала по списку (прил. 1)	Примечание
<b>Металлические полезные ископаемые</b>					
21	III-3	<i>Свинцово-цинковое</i> Курышевское, расположено на 14 км Гасеевского тракта от г. Канска	Галенит в виде прожилков в доломитах и песчаниках	27	
4	1-3	<i>Глиссеси</i> Березовское, расположено в 450 м от мельницы д. Березовка вверх по течению р. Усолья	В многочисленных карьерах вскрыты глиссеи	8	желобом, склоном
3	1-2	Гладкая Горка, расположено в 4,5 км на северо-восток от д. Ивановка	То же	4	Чистое, цветное, с зернистым переливом, склоном
12	II-4	Курыш-Поповическое, расположено на юго-восточной окраине р. Курыш-Попович	„ „ „	4	Цветное, склоном
8	1-4	Мачинское, расположено на правом берегу, р. Усолья, у фермы Мачино	В карьерах обнажаются глиссеи	8	склоном, зоной

1	1-2	Николаевское, расположено в 1,5 км к северу от д. Николаевка, у тракта	То же	4	
7	1-3	Тайнушинское, расположено на 9-ом км дороги Тайна-Архангельское	В карьерах обнажаются глиссеи	4	Разрабатывается Канским райдорогделом
25	III-3	<i>Соляные источники</i> Анцирский, расположен на юго-западной окраине д. Анцирь	Фонтанирующая скважина	15, 14	
17	III-2	Белоярский, расположен на правом берегу р. Кан, против юго-западной окраины д. Белоярское	То же	15, 14	
36	III-4	«Соляное озеро», расположено в 4 км на северо-восток от г. Канска	Соленый источник, образовавший небольшое озеро	15	Грязи, пропитанные соленым гастрофором, используются в медицине

## СОДЕРЖАНИЕ

	Стр.
Введение . . . . .	3
Стратиграфия . . . . .	4
Интузивные образования . . . . .	21
Тектоника . . . . .	23
Геоморфология . . . . .	32
Полезные ископаемые . . . . .	37
Подземные воды . . . . .	55
Литература . . . . .	56
Приложения . . . . .	59

Редактор издательства *А. М. Антокольская*

Технический редактор *В. В. Романова*

Корректор *Т. Ю. Шульц*

---

Подписано к печати 18/VII 1968 г.

Формат 60×90<sup>1</sup>/16.

Тираж 100 экз.

Печ. л. 4,5

Уч.-изд. л. 7,2

Заказ № 04090

---

Издательство «Недра»  
Ленинградская картфабрика ВАГТ